

Vysoká škola strojní a textilní v Liberci

nositelka Řádu práce

Fakulta strojní

obor 23-07-8

Strojírenská technologie

zaměření

Strojírenská metalurgie

Katedra materiálu a strojírenské technologie

ODLÉVÁNÍ ROZVÁDĚCÍCH VÁLCŮ ZE SLITINY HLINÍKU

KMM - 308

Jiří Krejčí

Vedoucí diplomové práce : Ing. Iva Nová, CSc

VŠST Liberec

Rozsah práce a příloh

Počet stran : 61

Počet tabulek : 7

Počet obrázků : 17

Počet příloh : -

Počet výkresů : -

2. června 1989

ZADÁNÍ DIPLOMOVÉ PRÁCE

(PROJEKTU, UMLECKÉHO DÍLA, UMLECKÉHO VÝKONU)

pro JIŘÍ KREJČÍ

obor strojírenská technologie

Vedoucí katedry Vám ve smyslu nařízení vlády ČSSR č. 90/1980 Sb., o státních závěrečných zkouškách a státních rigorózních zkouškách, určuje tuto diplomovou práci:

Název tématu: Odlévání rezváděcích válců ze slitiny hliníku.

Zásady pro vypracování:

1. Seznámení s výrobou odlitků ze slitin hliníku se zaměřením na technologii odstředivého liti.
2. Seznámení s konstrukcí a požadavky na rezváděcí válce v k.p. ELITEX, závod Chrastava.
3. Návrh kokily pro výrobu vybraného typu rezváděcího válce a návrh vhodného materiálu pro výrobu jádra.
4. Ověřovací odlévání rezváděcích válců z vybrané slitiny hliníku zvolenou technologií.
5. Vyhodnocení navržené technologie a doporučení pro její realizaci.

V. 194/89 S

VYSOKÁ ŠKOLA STROJNÍ A TEXTILNÍ
Ústřední knihovna
LIBEREC 1, STUDENTSKÁ 6
PSČ 461 17

Slity hliníku -
hliník - slity -
- odlévání -
- válce rezváděcí
(Eltex)

tabulky, grafy
40 - 50 stran

Rozsah grafických prací:

Rozsah průvodní zprávy:

Seznam odborné literatury:

- /1/ FERČÁK, D.: Návrh zařízení pro odlévání rozváděcích válců./Diplomová práce / VŠST - FS Liberec, 1986.
- /2/ SIROKICH, J.: Zařízení sléváren. 1.vydání, Praha,1968.
- /3/ JUDIN, S.B. a kol.: Centroběžnoje litjo. Moskva,1962
- /4/ RADEJ, J.: Návrh zařízení pro odlévání rozváděcích válců.
/Diplomová práce/, VŠST - FS Liberec, 1987.

Vedoucí diplomové práce: Ing.Iva Nová, CSc

.....

Datum zadání diplomové práce: 12.9.1988

Termín odevzdání diplomové práce: 2.6.1989

Doc.Ing.Zdeněk Holubec, CSc.

Prof.Ing.Vladimír Prášil,DrSC.

Vedoucí katedry

Děkan



v Liberci dne 11.9. 1988

Mistopřísežně prohlašuji, že jsem diplomovou práci vypracoval samostatně s použitím uvedené literatury.

v Liberci dne 2. 6. 1989

Jiří Krejčí

Jiří Krejčí

O B S A H

1.0.	Úvod.....	4
2.0.	Teoretická část.....	5
2.1.	Charakteristika odstředivého lití.....	5
2.1.1.	Výhody odstředivého lití.....	5
2.1.2.	Metody odstředivého lití.....	6
2.2.	Teoretický rozbor odstředivého lití.....	8
2.2.1.	Rozložení tlaku ve formě při odstředivém lití....	10
2.2.2.	Stanovení rychlosti otáčení.....	12
2.2.3.	Účinek rotace na vmeštky v roztaveném kovu.....	19
2.3.	Odstředivé stroje a jejich rozdělení.....	20
2.3.1.	Horizontální lici stroj.....	21
2.3.2.	Vertikální lici stroj.....	21
2.3.3.	Volba liciho stroje.....	21
2.4.	Slévárenské slitiny hliníku.....	22
2.5.	Tavení a odlévání hliníkových slitin.....	25
2.6.	Tuhnutí odlitrků hliníkových slitin v kovových formách /kokilách/.....	25
2.6.1.	Segregace.....	27
2.6.2.	Odměšování.....	27
2.7.	Technologické vlastnosti hliníku a jeho slitin...31	31
2.7.1.	Slévatelnost.....	31
2.7.2.	Sklon k trhlinám a prasklinám.....	31
2.8.	Slévárenské vlastnosti hliníku a jeho slitin....32	32
2.8.1.	Tavitelnost.....	32
2.8.2.	Tekutost.....	34
2.8.3.	Zabíhavost.....	34
2.8.4.	Smršťování a stahování hliníkových odlitrků.....35	35

2.9.	Vady odlitků.....	37
3.0.	Experimentální část.....	39
3.1.	Popis zařízení.....	39
3.2.	Výroba jader.....	42
3.3.	Technologický postup odstředivého lití.....	46
3.3.1.	Čištění odlitků.....	47
3.4.	Vyhodnocení kvality vyrobených odlitků.....	47
3.5.	Struktura odlitků.....	50
3.6.	Měření tvrdosti.....	53
4.0.	Diskuze výsledků.....	55
5.0.	Návrh řízení otáček motoru.....	56
6.0.	Závěr.....	58
7.0.	Použitá literatura.....	60

1.0. ÚVOD

V dnešní době vědecko-technické revoluce jsme svědky zvyšování nároků na výrobu, na využívání nových netradičních technologií, materiálů a energii. Jsou hledány stále nové možnosti jak zvýšit kvalitu i kvantitu výroby. Tento stav není vyvolán jen konkurencí, ale i ztenčujícími se zdroji prvních surovin a nezřídka i světovou politickou situací.

V našem strojírenském průmyslu zaujímá velice významné místo slévárenská výroba. Jednou z cest jak zlepšit jakost odlitků, snížit zmetkovitost a účelněji využívat energie a surovin, je zavádění nových progresivních technologií. V opačném případě se naše národní hospodářství bude i nadále potýkat s problémy výroby a spotřeby, které mají negativní sociálně-ekonomický dopad.

Mezi takovéto moderní technologie patří i odstředivé lití. Zajišťuje výrobu kvalitních odlitků s minimálními požadavky na dokončovací úpravy. Šetří používaný materiál, protože při odlewání není potřeba využívat přídavky, které jsou běžné ve slévárenské technologii jako např. nálitky, přídavky na opracování, výfuky atd. Dále lze touto technologií zvýšit i sortiment odlévacích materiálů i tvarů.

Cílem mé diplomové práce je navrhnout a ověřit zařízení pro výrobu rozváděcích válců v n.p. Elitex Chrastava metodou odstředivého lití a stanovení potřebných technologických parametrů. Dále je třeba navrhnout kokilu pro výrobu vybraného typu rozváděcího válce a navrhnout vhodný materiál pro výrobu jádra i vhodnou slitinu hliníku, kterou by bylo možno povrchově upravovat eloxováním, pro zajištění požadovaných mechanických vlastností. provedení vyhodnocení navržené technologie a doporučení pro její realizaci.

2.0. TEORETICKÁ ČÁST

2.1. CHARAKTERISTIKA ODSTŘEDIVÉHO LITÍ

Odstředivé liti je zvláštní způsob technologie odlévání, kdy roztavený kov vtéká do rotující formy - kokily, která se otáčí kolem své osy. Kov je nucen konat rotační pohyb a odstředivá síla na něj působící způsobuje, že kov se pohybuje proti stěnám formy, a jehož tlakem se dosáhne těsného kontaktu mezi ním a formou.

Ostatní částice jako jsou plyny, struska, všecky a jiný nekovový materiál o menší hustotě než má daný kov, se vytlačují na stranu vnitřních ploch odlitku. Dále má odstředivá síla význam při tuhnutí a krystalizaci.

Roztavený kov vyplňuje mezidendritické dutiny a tím zajišťuje větší hutnost odlitku. Proto je nutné, aby rotace pokračovala až do úplného ztuhnutí odlitku. Tato technologie odstředivého liti nám umožňuje výrobu jakostnějších a přesnějších odlitek než liti gravitační.

2.1.1. VÝHODY ODSTŘEDIVÉHO LITÍ

1. Méně pracná nebo úplně zbytečná povrchová úprava, náklady na obrábění se sníží o 10-30 %.
2. Menší spotřeba tekutého kovu, protože přídavky na opracování mohou být menší a lze se obejít v určitých případech i bez vtoků a nálitků.
3. Minimalizovaná spotřeba formovacích směsí.
4. Výrazně menší počet zmetků.
5. Celkové náklady na výrobu některých odlitek bývají 2-8x menší,

- než u odlitků odlévaných stacionárně.
- 6. Výrazně se zvyšuje produktivita práce.
- 7. V určitých případech není vůbec zapotřebí formičské práce.
- 8. Touto technologií lze odlevat i několikavrstvé odlitky.

Hlavní nevýhody jsou :

- 1. Hmotnost odlitku je omezena, běžně se pohybuje kolem 5 kg, maximálně však 25 kg.
- 2. Větší náklady na strojové vybavení, formu a pomocná zařízení.
- 3. Omezení tvaru odlitku.

2.1.2. METODY ODSTŘEDIVÉHO LITÍ

Rozdělení odstředivého lití je různé podle definic různých autorů:

- A. - odstředivé lití s horizontální osou rotace
 - odstředivé lití s vertikální osou rotace
 - odstředivé lití se šikmou osou rotace
- B. - pravé
 - polloodstředivé
 - odstředování
- C. - pravé
 - polloodstředivé
 - lití pod odstředivým tlakem

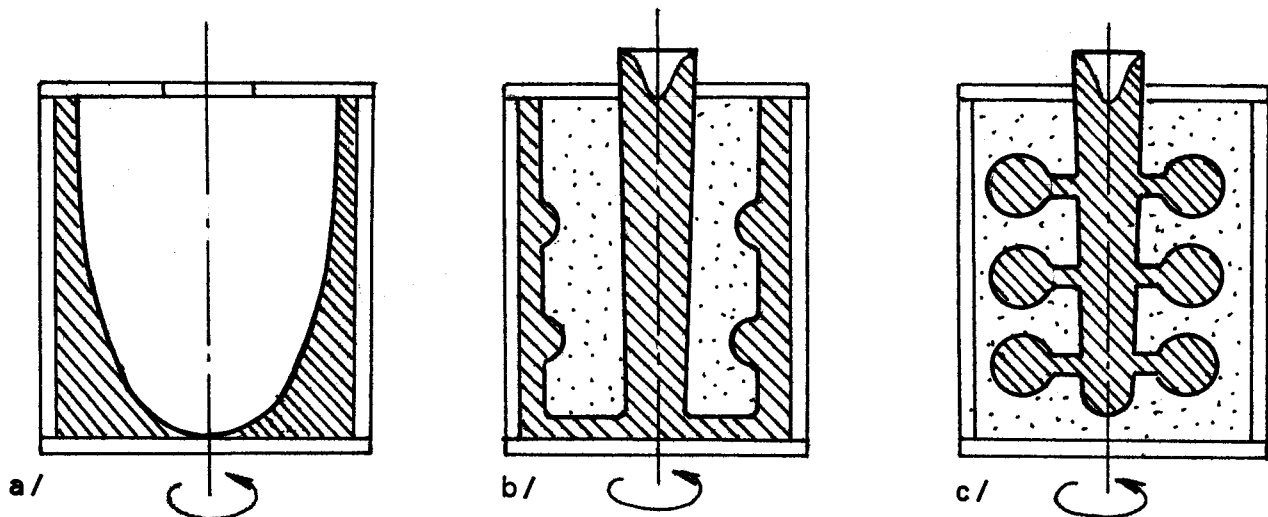
Pravé odstředivé lití : timto způsobem se vyrábějí trubky, kroužky, pouzdra atd. Roztavený kov se vlévá do formy, která má velké otáčky, přičemž osa rotace je totožná s osou odlitku a vnitřní tvar je tvořen volným povrchem kovu vytvořeným rotací. Formy se používají většinou kovové - kokily, protože jsou značně namáhány jak mechanicky tek tepelně. Schéma pravého odstředivého lití

je na obr. 1a.

Polooodstředivé lití : tímto způsobem lze vyrábět odlitky s tvárováným vnitřním povrchem, kde osa rotace formy a dolitku jsou totožné, avšak vnitřní povrch a dutiny jsou docíleny pomocí jader ať už pískových nebo kovových. Otáčky formy jsou však menší než v předešlém případě. Schéma polooodstředivého lití je na obr. 1b.

Odstředování : touto technologií se vyrábějí odlitky v netrválých formách a do rotace se uvádějí až po naplnění formy roztaženým kovem.

Lití pod odstředivým tlakem : tímto způsobem se vyrábějí nesouměrné odlitky, které bývají rozloženy kolem centrálního vtoku, jak je naznačeno na obr. 1c.



Obr. 1. Způsoby odstředivého lití :

a/ pravé

b/ polooodstředivé

c/ pod odstředivým tlakem

2.2. TEORETICKÝ ROZBOR ODSTŘEDIVÉHO LITÍ

VETIŠKA /2/ rozlišuje podle způsobu pohybu tekutého kovu v rotující formě dva postupy řešení teorie odstředivého lití :

1. Řešení hydrodynamické, které uvažuje relativní pohyb tekutého kovu vzhledem k formě.
2. Řešení hydrostatické, které uvažuje pohyb tekutého kovu za souhlasný s pohybem formy.

Hydrodynamické řešení silových účinků odstředivého lití

Předpokládá kromě gravitace a odstředivých sil i tření tekutého kovu o stěny rotující formy. Hodnoty otáček jsou menší než hodnoty vypočítané podle hydrostatických vztahů, protože se v podstatě určují minimální otáčky, kdy neopadávají kapky tekutého kovu.

Tyto výpočty jsou velmi složité a pro jejich praktické využití je třeba znát velké množství různých hodnot. Budu se proto věnovat pouze hydrostatickému řešení.

Hydrostatické řešení silových účinků při odstředivém lití /3/

Na jednotku hmoty taveniny působí odstředivá síla

$$C = m \cdot a = m \cdot r \cdot \omega^2 \quad (1)$$

kde :

a - úhlové zrychlení $/\text{ms}^{-2}/$

r - poloměr otáčení hmotného bodu $/\text{m}/$

ω - úhlová rychlosť $/\text{s}^{-1}/$

m - hmotnost částice $/\text{kg}/$

dále na taveninu působí tíhová síla

$$G = m \cdot g \quad (2)$$

tyto dívají výslednici

$$R = \sqrt{C^2 + G^2} \quad (3)$$

Tato výslednice svírá s vodorovnou rovinou úhel ω , který lze vyjádřit

$$\operatorname{tg}\alpha = \frac{G}{C} = \frac{r}{2y} \quad (4)$$

$$\omega^2 = \frac{g}{r \cdot \operatorname{tg}\alpha} \quad (5)$$

Řezem je paraboloid $y = \frac{\omega^2}{2g} \cdot r^2$ (6)

s vrcholem v počátku a parametrem

$$p = \frac{\omega^2}{2g} \quad (7)$$

Z tohoto výrazu lze odvodit vztah pro praxi k stanovení počtu otáček, potřebných k odlití válce výšky H a vnitřních poloměrů r_1 /horní/, r_2 /dolní/.

$$y_1 = \frac{\omega^2 r_1^2}{2g} \quad ; \quad y_2 = \frac{\omega^2 r_2^2}{2g} \quad (8)$$

$$H = y_1 - y_2 = \frac{\omega^2}{2g} \cdot (r_1^2 - r_2^2) \quad (9)$$

$$n = 423 \sqrt{\frac{H}{r_1^2 - r_2^2}} \quad (10)$$

Výraz /10/ lze psát ve zjednodušeném tvaru :

$$n = k \sqrt{H} \quad (11)$$

Je nutno kontrolovat tlak taveniny na kokilu a obvodovou rychlosť vnitřního povrchu kokily :

$$v = \frac{\pi \cdot d \cdot n}{60} \quad (12)$$

pro slitiny hliníku platí :

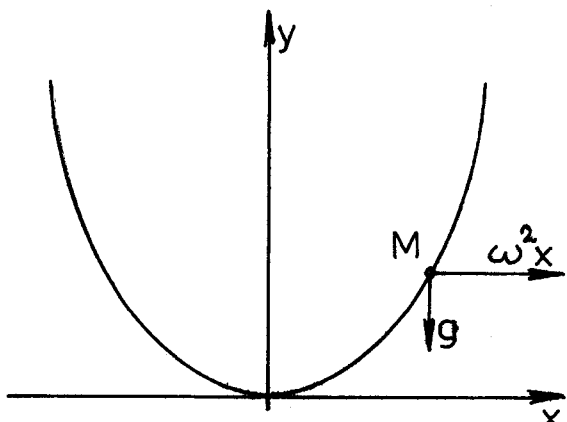
$$v < 36 \text{ ms}^{-1}$$

Naznačení sil působících na hmotný bod je na obr.2.

2.2.1. ROZLOŽENÍ TLAKU VE FORMĚ PŘI ODSTŘEDIVÉM LITÍ /3/

K určení absolutního tlaku v libovolném místě otáčející se kokily s kovem můžeme použít vztahu

Tlak při rotaci kolem vertikální osy



Z obr. 4 je patrné, že hodnoty zrychlení působících na hmotný bod M na povrchu paraboloidu jsou:

$$X = \omega^2 \cdot x \quad (13)$$

$$Y = -g \quad (14)$$

obr. 4

Dosazením do /13/ dostaneme :

$$dp = \rho \cdot (\omega^2 \cdot x \cdot dx - g \cdot dy) \quad (15)$$

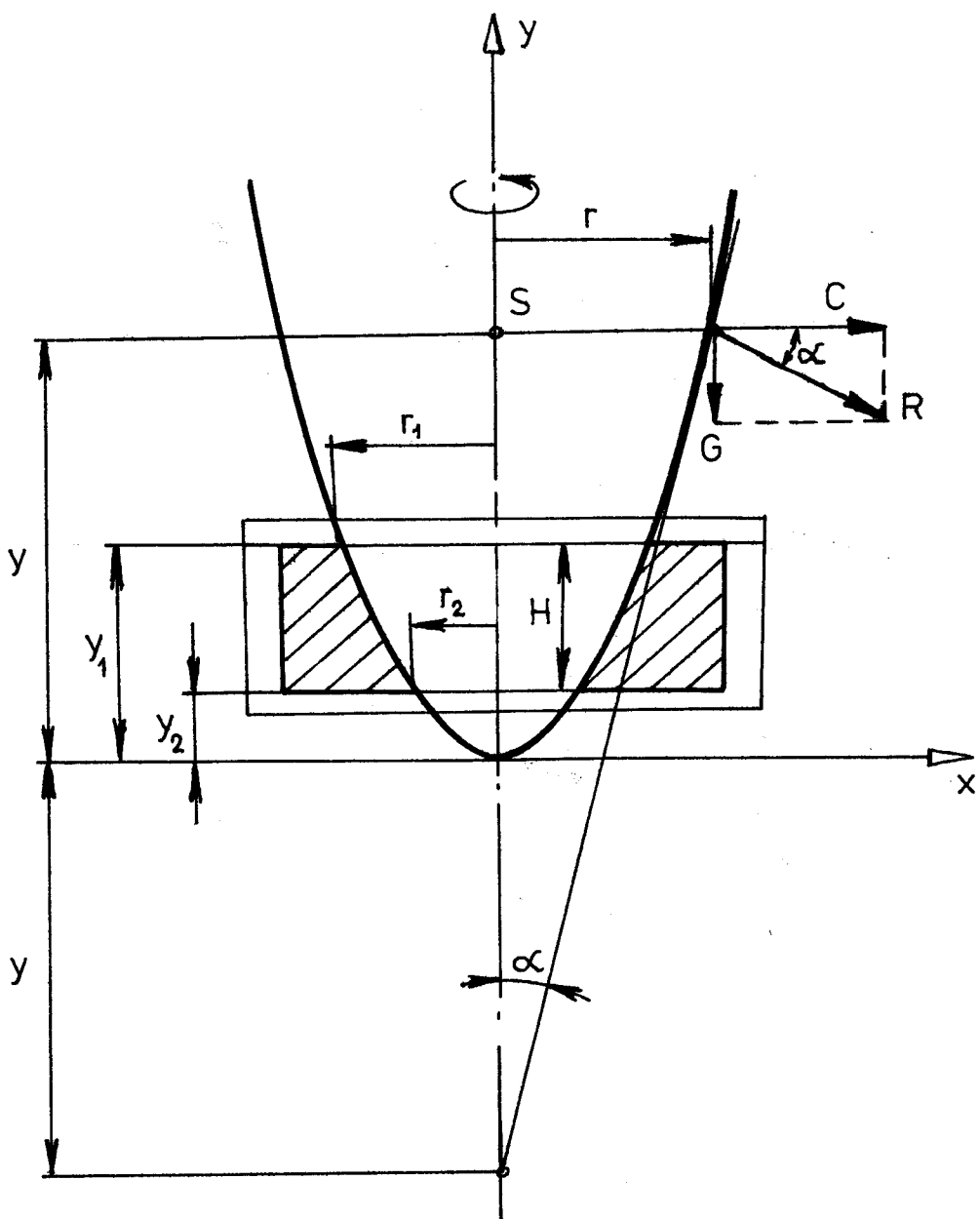
$$p = \rho \cdot \left(\frac{\omega^2 \cdot r^2}{2} - gy \right) + \rho \cdot g \cdot y_0 \quad (16)$$

Jestliže dosadíme za ω a za $y_0 - y_1 = h$, pak dostaneme celkový vztah pro tlak v bodě M.

$$p = \frac{\rho}{10000} \cdot (5,589 \cdot r^2 \cdot n^2 + h) \quad (17)$$

Jestliže bod M, ve kterém určujeme tlak leží nad křivkou paraboloidu potom tlak bude roven :

$$p = \rho \cdot \frac{\omega^2}{2g} \cdot (r_a^2 - r_b^2) \quad (18)$$



Obr. 2 Působení sil na hmotný bod taveniny při rotaci kolem svislé osy.

C - odstředivá síla v N

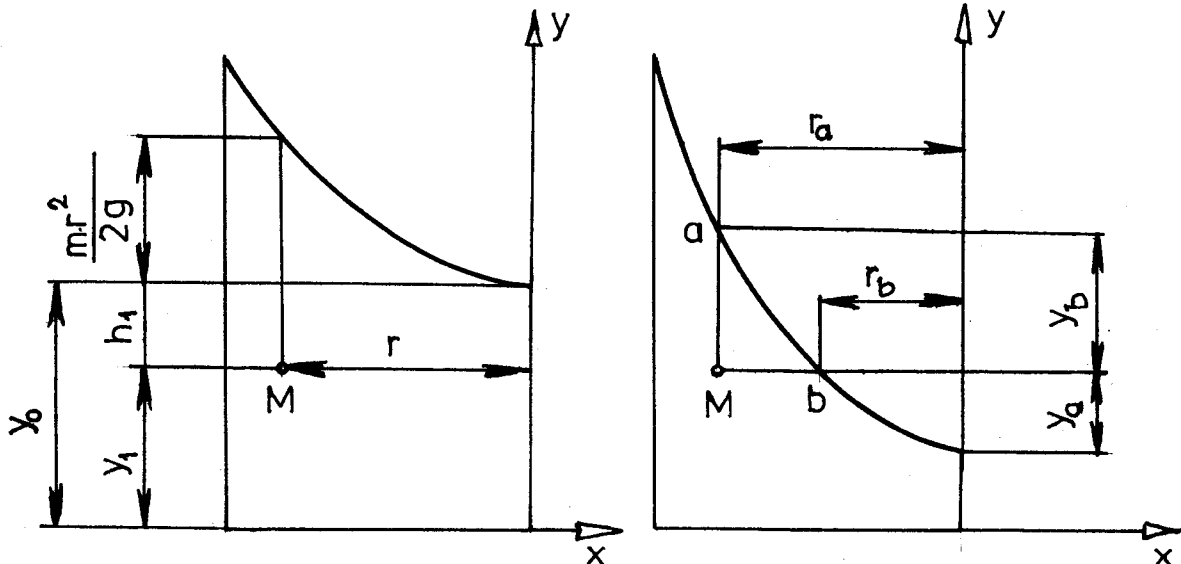
r_1 - poloměr horní volného povrchu v m

G - zemská tíže v N

r_2 - poloměr dolní volného povrchu v m

R - výslednice v N

H - výška odlitku v m



Obr. 5a

Obr. 5b

Schema určení tlaku v místě M při vertikální ose otáčení. Bod M leží níže, než je vrchol paraboloidu

Schema určení tlaku v místě M při vertikální ose otáčení. Bod M leží výše, než je vrchol paraboloidu

2.2.2. STANOVENÍ RYCHLOSTI OTÁČENÍ /4/

Rychlosť otáčení formy je jednou z prvních otázek, které je nutno vyřešit při zavádění odstředivého lití.

Výsledná struktura, struskové vložky, půrovitost způsobené plynatostí nebo smrštováním při tuhnutí, hospodářský výtěžek a jiné vlastnosti odstředivého odlitku závisí na velikosti odstředivé síly, která se při změně úhlové rychlosti značně mění.

Známé metody výpočtu rychlosti otáčení formy jsou založeny na těchto čtyřech základních výpočtech :

1. Na výpočtu podle požadované obvodové rychlosti
2. Na výpočtu podle součinitele gravitace
3. Na výpočtu tlaku kovu na formu

4. Podle empirických vzorců

1. Podle požadované obvodové rychlosti formy lze stanovit otáčky ze vztahů :

$$v = \frac{\pi \cdot r \cdot n}{30} \quad (19)$$

$$n = \frac{30 \cdot v}{\pi \cdot r} \quad (20)$$

kde :

r - poloměr částice /m/

v - požadovaná obvodová rychlosť /ms⁻¹/ pro hliník

a hliníkové slitiny v < 36

odlitky ze šedé litiny v > 30

Takto stanovené otáčky se však v praxi neosvědčily.

2. Výpočet podle součinitele gravitace s rotací okolo vertikální osy.

Otáčí-li se odlitek kolem svislé osy, vzniká v jeho vnitřní části zužující se dutina, která má v osovém řezu tvar parabolky. Sklon stěny dutiny je výsledkem kombinace odstředivé síly a zemské tíže, které jsou na sebe kolmé. Tzn., že odlitek bude mít jinou tloušťku stěny v horní části a jinou v dolní části. Zkouškami při různých rychlostech se zjistilo, že nejlepší je rychlosť, která má sklon vnitřní stěny 1 : 100.

Výška odlitku má mít poměr k poloměru 1 : 1,5.

K výpočtu otáček můžeme použít vzorce :

$$n = \sqrt{\frac{Q}{R}} \cdot 300 \quad (21)$$

$$Q = \left(\frac{\pi \cdot n}{30} \right)^2, \quad \frac{R}{g} = \frac{v^2}{R \cdot g} = \frac{C}{G} \quad (22)$$

kde :

C - odstředivá síla /N/

n - otáčky vřetena /min⁻¹/

g - zemské zrychlení /ms⁻²/

R - poloměr otáčení uvažované částice /m/

v - obvodová rychlosť /ms⁻¹/

Q - gravitační součinitel

Výpočet můžeme urychlit použitím nomogramu - obr. č.6

3. Výpočet podle tlaku kovu na formu

Podle vztahu(17) je pro výpočet tlaku v libovolném místě formy určen vztah :

$$P = \frac{Q}{10\ 000} \cdot (5,589 r^2 n^2 + h) \quad (23)$$

kde :

Q - hustota /kgm⁻³/

r - poloměr formy /m/

n - otáčky formy /min⁻¹/

h - rozdíl výšek /m/

Úpravou tohoto vztahu dostaneme požadovanou rychlosť otáčení formy :

$$n = \sqrt{\left(\frac{P \cdot 10\ 000}{Q} - h\right) / 5589 r^2} \quad (24)$$

kde :

P_M - tlak v místě M /Pa/

Toto stanovení otáček záleží na přetlaku. Při malém přetlaku hodnoty otáček odpovídají praxi.

4. Výpočet podle empirických vzorců

Pro praktické použití odvodili dva na sobě nezávislé vztahy tito autoři. Prvním z nich byl Cammen. Jeho vztah :

$$n = \frac{C}{\sqrt{r}} \quad (25)$$

kde :

M - otáčky formy $/min^{-1}/$

C - koeficient závislý od vlastnosti litého kovu
pro ocel - 1350

šedá litina a bronzy - 1675

hliník - 2250

r - poloměr vnitřního povrchu odlitku v palcích

Druhým empirickým vzorcem je vzorec Konstantinova :

$$n = \frac{5520}{\sqrt{\rho \cdot r}} \quad (26)$$

kde :

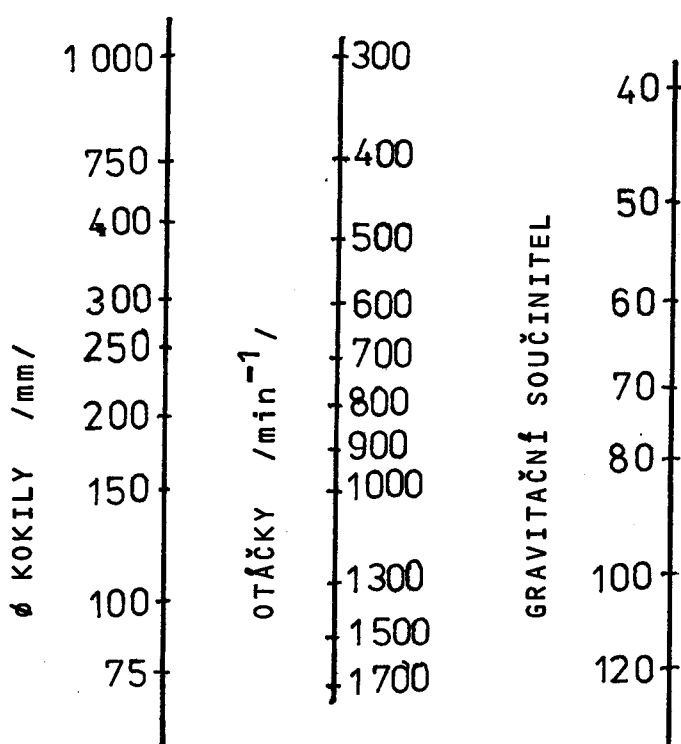
ρ - hustota taveniny $/gcm^{-3}/$

r - poloměr vnitřního povrchu odlitku $/cm/$

pro Al slitiny platí vztah :

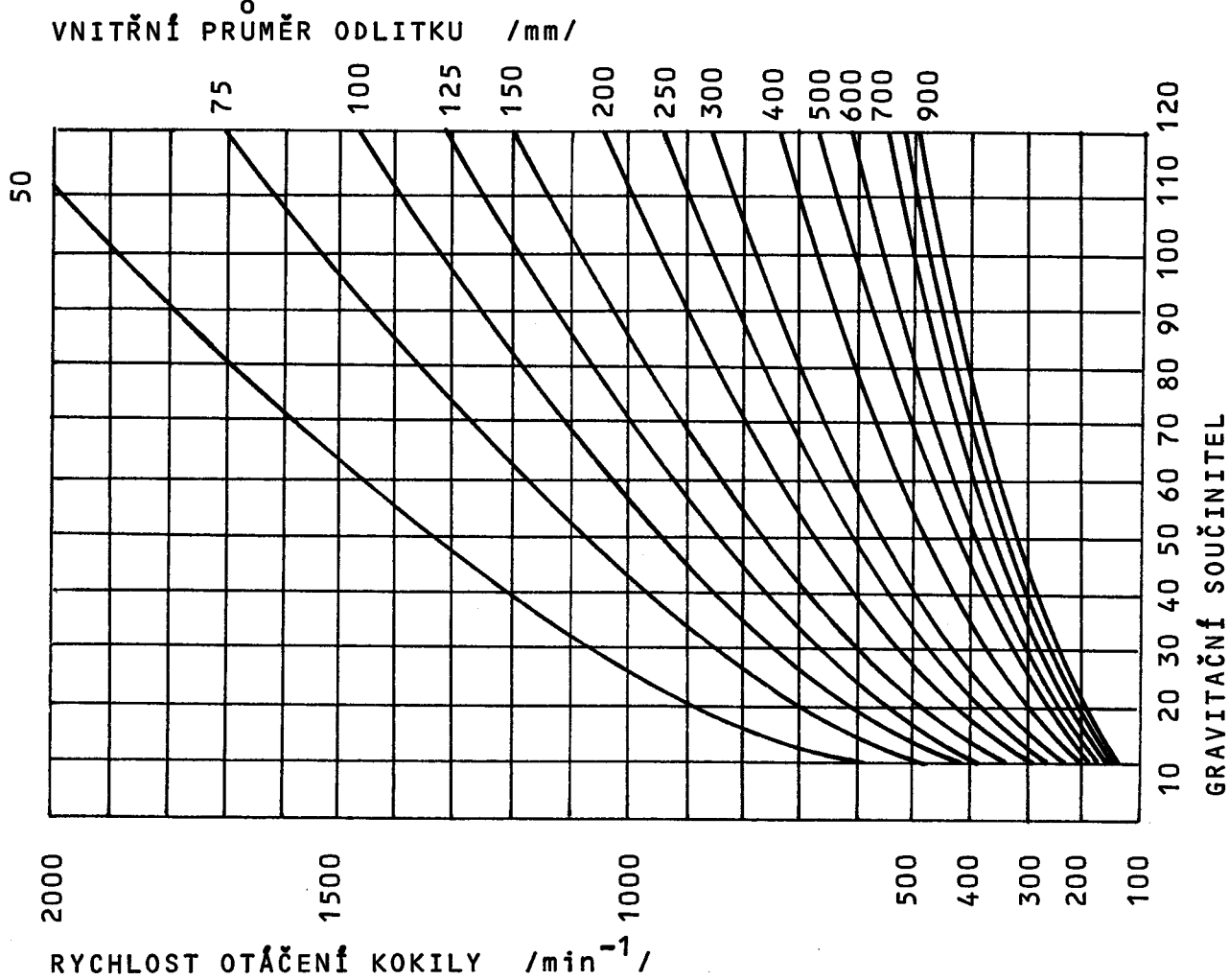
Oba dva výrazy jsou odvozeny ze základu gravitačního koeficientu. Pro některé případy byla vypracována tabulka k určení rychlosti otáčení formy při různých způsobech otáčení, poměru poloměrů, různých forem, gravitačního koeficientu a materiálu odlitku. Hodnoty jsou uvedeny v tabulce č.1.

S použitím grafu obr.7 lze snadno určit rychlosť otáčení formy při zadaném gravitačním koeficientu a vnitřního průměru odlitku. V případě, kdy kovovou formu před litím ohříváme, lze snižit otáčky formy až o polovinu. To plyne z toho, že je zapotřebí k správnému vyplnění formy menšího tlaku, menší odstředivé síly a tudíž i menšího gravitačního koeficientu.



Obr. 6

Nomogram pro stanovení
počtu otáček



Obr. 7 Graf k určení počtu otáček

Název odlitku	kov	osa rotace	forma	zvláštní podmínky	gravitační koeficient Q min.	$\frac{R}{r}$	Poznámka
pouzdra traktorů	šedá litina	horizont.	kovová s nátěr.	povrch formy pokr.-žár. vzd.-nátěrem	30,4	1,17	
dtto	dtto	dtto	písk.		40	1,17	
různá pouzdra	dtto	dtto	kov. s nát.	povrch-písek	32-89	2,5	korekce podle tlouš.
kokily a raznice				odl.-s ostrý-mi hránami	13,4		
trubky vodovod.	dtto	horizont. sklon 3°	dtto	form bez nátěru	15-17	1,1-1,17	
dtto	dtto	dtto	písk. suchá	trubky d. do 6,5 mm	31-49	1,1-1,17	při odlévání K-61-74
plný odlitek	ocel.u.vertik.		kovová s nátěr.	výš. 1,7 mm tl. 20 mm	73	1,2-5	
tlustostěn. odlitky	uhl.-oc. horiz. nízko-leg.		kovová s nátěr.	Qmax podle obv.-rych. 25-30			kontrola na max. tlak
pouzdra	bronz	dtto	kovová		3,3	1,55	
velká pouzdra	0,3-5-25 bronz až 9-4	dtto	dtto		16,4	1,16	
malá pouzdra	růz.sl. mědi a hliníku	vertik.	dtto		40		Q podle výšky od pouzdra
pouzdra a kola	silumin sí do 8%			teplota formy 180-200°C	80-120		
dtto	silumin sí do 11-12%	dtto	dtto		30-50		

Název odliatku	kov	osa rotace	forma	zvláštní podmínky	gravitační koeficient Q min.	$-\frac{R}{r}$	Poznámka
pouzdra a kola Al	čistý Al	dtto	kovová	dtto	13-25		
dtto	dtto	písková	dtto		20-25		
rotory elektromot.	hliník vertik.	kovová	forma ohřátá na 300-400 °C	forma ohřátá na 300-400 °C	6-11		
dtto	dtto	dtto	form chladná	form chladná	280		

Tab. č.1 Určování gravitačního koeficientu Q

2.2.3. ÚČINEK ROTACE NA VMĚSTKY V ROZTAVENÉM KOVU

Při odstředivém liti působí na každou částici, tedy i na
vměstek síly :

- odstředivá
- vztaková /dle Archimedova zákona/

Matematické znění Archimedova zákona :

$$F_{vz} = g \rho_v V - g \rho_k V = Vg(\rho_v - \rho_k) \quad (27)$$

kde :

F_{vz} - vztaková síla /N/

ρ_v - hustota nekovového vměstku ponořeného do tekutého kovo-
vu $/\text{kgm}^{-3}/$

ρ_k - hustota tekutého kovu $/\text{kgm}^{-3}/$

V - objem ponořeného vměstku $/\text{m}^3/$

Při působení odstředivé síly platí :

$$F_o = V \cdot \omega^2 \cdot r \cdot (\rho_v - \rho_k) \quad (28)$$

kde :

F_o - odstředivá síla působící na vměstek /N/

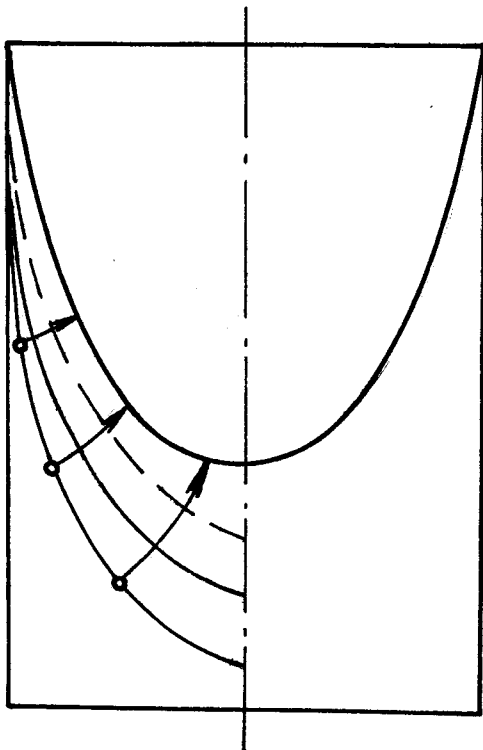
- úhlová rychlosť otáčení formy $/\text{s}^{-1}/$

r - vzdáenosť středu setrvačných sil ponořeného objemu
od osy otáčení /m/

Výslednice sil F_{vz} a F_o je potom :

$$F_c = V \cdot (\rho_v - \rho_k) \cdot (g - r \cdot \omega^2) \quad (29)$$

Při rotaci kolem vertikální osy vyplouvají vměstky po křivce
naznačené na obr. 8. Trajektorii bude křivka, která je v libo-
volném bodě normálou k okamžité hodnotě povrchu paraboloidu.



Obr. 8 Schéma vyplouvání v městku

2.3. ODSTŘEDIVÉ STROJE A JEJICH ROZDĚLENÍ

Dle použití technologie odstředivého lití můžeme dělit stroje do tří základních skupin :

1. Stroje s vodorovnou osou rotace
2. Stroje se svislou osou rotace
3. Stroje se skloněnou osou rotace

Na konstrukci stroje jsou kladený značné požadavky. Především musí stroj splňovat dostatečnou tuhost, aby se zamezilo chvění a vibracím při větším počtu otáček, protože se snižuje

mez únavy rotujících součástí. Je třeba se vyhnout i otáčkám, při nichž nastává rezonance. Otáčky se dají měnit několikerým způsobem :

- použitím elektromotorů s možností plynulé regulace
- zařazením převodových skřini s možností plynulé regulace
- zařazením převodových skřini s možností skokové regulace

2.3.1. HORIZONTALNÍ LICÍ STROJ

Tento typ stroje se používá především k odlévání delších součástí. Konstrukční řešení stroje :

- s oboustranně uchycenou kokilou
- s letmo uloženou kokilou

2.3.2. VERTIKÁLNÍ LICÍ STROJ

Tento stroj je vhodný pro odlévání menších a středně velkých odlitek, např. kroužky, pouzdra, segmenty, jejichž výška nepřevládá nad průměrem. Je též vhodný pro poloostředivé liti. Maximální rozměry zhotovených odlitek :

- výška 300 mm
- průměr 400 mm
- hmotnost do 30 kg

2.3.3. VOLBA LICÍHO STROJE

Při volbě druhu licího stroje je nutno přihlížet k :

- velikosti součásti
- tvaru součásti
- vnějšímu a vnitřnímu průměru
- způsobu, jakým lze plnit formu

Například krátká pouzdra, věnce, kroužky a podobné součásti, které mají menší průměr než délku, odléváme na licím stroji s horizontální osou rotace s letmo uloženou kokilou, součásti příliš těžké odléváme na stroji s vertikální osou rotace.

2.4. SLÉVÁRENSKÉ SLITINY HLINÍKU /5/

Slévárenské slitiny hliníku mají na rozdíl od tvářených vyšší obsah legujících prvků a obvykle jsou ve dvoufázové oblasti. Při chladnutí dochází k segregaci přísady. Charakter segregace i způsob vyloučení závisí na složení slitiny a podmírkách ochlazování.

Optimální slévárenské vlastnosti mají slitiny přibližně eutektického složení. Nejvýznamějšími slévárenskými slitinami hliníku jsou slitiny typu AlSi. Podle složení jsou slitiny AlSi buď podeutektické / s obsahem Si pod 12%, eutektické / s obsahem kolem 12% / a nadeutektické / s obsahem Si 12-24%. Vedle binárních slitin AlSi jsou často používány slitiny s jinými přísadami /např. Mg nebo Mn/, které jsou vhodné k vytvrzování.

Vyžaduje-li se u odlitků z hliníkových slitin zvýšená odolnost proti korozi a je-li nutná povrchová úprava, volíme jako přísadu hořčík. Přídavkem křemíku a mangantu se dosahuje zlepšení slévatelnosti i mechanických vlastností.

Podle způsobu výroby odlitků rozdělujeme slitiny na vhodné pro lití do písku, do kokil, pod tlakem nebo odstředivě. Slitiny pro lití pod tlakem a odstředivě jsou vlastně výběrovými slévárenskými slitinami u nichž se požaduje velmi dobrá zabíhavost. Tímto způsobem lze získat odlitky velmi složité, s minimální tloušťkou stěny, přesného tvaru a hladkého povrchu.

Slitiny hliníku dělíme do dvou základních skupin :

- 1. Slitiny hliníku prvého tavení**
- 2. Slitiny hliníku druhého tavení**

Slitiny prvního tavení se vyrábějí z nových surovin, obsahují méně nečistot a slouží k odlévání více namáhaných odlitrků.

Slitiny druhého tavení se získávají přetavováním a rafinací odpadu.

Slitiny AlMg mají ze všech slitin hliníku nejlepší korozivzdornost, nejmenší hustotu a jsou dobře leštiteLNé.

Přehled nejpoužívanějších slévarenských slitin hliníku, jejich chemického složení a mechanických vlastností je uveden v tabulce č. 2.

ČSN	Hlavní kovy tvorící písku sletit - K-do ku	odlito ku	Chemické složení /%/ čísla v závorkách značí množství nečistot v %/									
			Cu	Mg	Mn	Si	Ti	Ni	Cr	Sb	Zn	Fe
424515	AlMg5	P	/0,05/	4,5-5,5	0,1-0,5	0,6-1,5	/0,3/	-	/0,3/	/0,3/	/0,1/	/0,5/
		K	/0,05/	4,5-5,5	0,1-0,5	0,6-1,5	/0,3/	-	/0,3/	/0,3/	/0,1/	/0,5/
424517	AlMg7	P	/0,05/	6-7,5	0,1-0,5	0,6-1,5	0,3	-	/0,3/	/0,3/	/0,1/	/0,5/
		K	/0,05/	6-7,5	0,1-0,5	0,6-1,5	0,3	-	/0,3/	/0,3/	/0,1/	/0,5/
424330	AlSi13	P	/0,1/	/0,1/	0,3-0,5	10-13	/0,15/	-	-	-	/0,1/	/0,6/
		K	/0,1/	/0,1/	0,3-0,5	10-13	/0,15/	-	-	-	/0,1/	/0,6/
424384	AlSi10	P	/1,6/	/0,5/	0,2-0,5	7-11	/0,5/	-	-	-	/1,0/	/0,2/
druhá tavyba	K	P	/0,2/	0,2-0,4	/0,5/	0,2-0,5	7-11	-	/0,5/	-	/1,0/	/0,2/
424332	AlSi7	K	/0,2/	0,2-0,4	/0,5/	6-8	-	-	-	-	/0,3/	/0,6/
		P	/0,7-1	-	0,25-0,45	13,5	-	-	-	-	/0,2/	/1,0/
424335	AlSiCu	K	0,7-1	-	0,25-0,45	13,5	-	-	-	-	-	/0,6/
424331	AlSiMg	P	/0,1/	0,2-0,4	0,3-0,45	9-10	/0,15/	-	-	-	/0,05/	/0,6/
		K	/0,1/	0,2-0,4	0,3-0,45	9-10	/0,15/	-	-	-	/0,05/	/1,0/

ČSN	Re /MPa/			Rm /MPa/			A /%			HB			Použití	
	*	**	*	*	**	*	*	**	*	*	**	*	**	
424515	90	-	160	-	2	-	55	-	55	-	60	-	dobře leštitel.	
	90	-	170	-	3	-	60	-	60	-	70	-	elektrolyt.ox.	
424517	110	120	150	190	2	2,5	65	70	70	70	70	dtto		
	120	130	200	260	5	5	70	70	70	70	70		tenkost.odlit.	
424330	80	-	170	-	4	-	50	-	50	-	55	-	rázu vzdorná	
					3	-	55	-	55	-	60	-	tenkost.odlit.	
424384	80	-	140	-	1	-	50	-	50	-	55	-	dyn.namáh.	
					1	-	55	-	55	-	65	-	pro součástky	
424332	-	-	160	200	2	2	50	60	50	60	60	60	v letect.průmys.	
			160	210	2	2	50	60	50	60	60	60	součástky pro	
424335	80	-	170	-	2	-	50	-	50	-	55	-	lodní dopravu	* tepelně nezpracováno
					0,4	-	60	-	60	-	80	-	pro slož.odlit.	** tepelně vytvrzeno
424331	90	-	180	240	2	0,4	55	80	55	80	85	85	střid.namáh.	
	-	-	180	250	0,3	0,4	65	85	65	85	85	85		

Tab. č.2

Přehled chemického složení
a mechanických hodnot
hlinitkových slitin.

2.5. TAVENÍ A ODLÉVÁNÍ HLINÍKOVÝCH SLITIN

Tyto slitiny lze tavit v kelímkových pecích, ale v poslední době se stále více rozšiřují pece indukční. K dobrému průběhu přípravy slitin je důležité použít i rafinačních a odplyňovacích přípravků. Mezi nejběžnější používané rafinační přípravky můžeme uvést slitinu :

33% NaCl, 33% KCl, 34% MgCl₂

Odlévání hliníkových slitin se provádí jak do pískových forem, tak i do kokil. Odlévání do kokil se používá s výhodou při sériové výrobě. Kokily jsou nejčastěji vyráběny ze šedé litiny, případně z oceli. Z těchto materiálů nebo i pískových směse také vyrábějí jádra.

Hliníkové slitiny se často odlévají gravitačně do pískových forem. Velmi rozšířené je také jejich odlévání do kovových forem pod tlakem.

Odstředivé kokilové lití hliníkových slitin se provádí pouze vyjímečně. V tomto případě se používají válcové kokily, které se otáčejí kolem své osy. Při lití slitin hliníku se této metody používá např. při lití ložiskových pouzder nebo rotorů asynchronických elektrických motorů. Používá se jen tehdy, jde-li o malé série a lití pod tlakem by bylo nehospodárné.

2.6. TUHNUTÍ ODLITKŮ Z HLINÍKOVÝCH SLITIN V KOVOVÝCH FORMÁCH

/KOKILÁCH/

Průběh krystalizace je závislý na krystalizační schopnosti pro tvorbu krystalových zárodků. Nejvhodnější jsou místa u stěny kokily, kde dochází k potřebnému přechlazení taveniny. Tvorbu zárodků ovlivňuje především rychlosť ochlazování a to

tak, že při pomalém ochlazování se tvorí malý počet zárodků a vzniká malý počet krystalů, které rostou do velkých rozměrů /struktura dílčí je hrubozrná/.

Naproti tomu při rychlém ochlazování se počet zárodků rychle zvyšuje a vzniká mnoho drobných krystalů /výsledná jemnozrná struktura/. Vznik zárodků je také podporován přítomností drobných částí cizích těles v tavenině, např. oxidů, karbidů, intermetalických fází nebo přímo očkovacích přísladků.

Růst krystalů a krystalizačních center je ovlivňován směrem odvodu tepla. Přednostní růst v určitých krystalografických směrech a rovinách je základem vzniku dendritické struktury. U kubické soustavy narůstá krystal rychleji ve směru tří hlavních os a prostor mezi těmito osami se vyplňuje kovem později.

U slitin hliníku roste délka sloupkovitých krystalů se zmenšováním se intervalů tuhnutí jak uvádí KOLEKTIV /6/.

Dendritická krystalizace je zdrojem nehomogenního chemického složení. Vliv této nehomogenity je příčinou praskání odlitků, protože v oblastech bohatých na přísladky se vylučují křehké fáze za vyšších teplot.

Při stěně kokily, kde je velmi vysoké podchlazení vzniká pásmo velmi jemných rovnoosých krystalů. Za touto krystalizační frontou jsou vytvořeny podmínky pro vznik sloupkovitých krystalů.

Konečně poslední oblast je tvořena polydry /rovnoosými dendrity/. V důsledku tuhnutí kovů a jejich slitin dochází také k prudké změně rozpustnosti plynů v daném kovu. Toto lze odstranit volbou vhodné technologie odlévání, popřípadě volbou vhodné formovací směsi.

Při tuhnutí dochází také ke smršťování, což je v podstatě

zmenšování rozměrů odlitků vzhledem ke kokile. Má za následek vznik mikropórů, staženin a vnitřních pnutí. Při tuhnutí mohou jednotlivé větve dendritů uzavřít zbylou taveninu a tím znemožnit krytí objemových ztrát. Následkem je vznik ředin.

Nedostatečnou dodávkou taveniny při tuhnutí mohou vzniknout i větší soustředěné dutiny - staženiny, které nám v některých případech znehodnotí celý odlitek.

2.6.1. SEGREGACE

Změny ve složení krystalů a taveniny během krystalizace jsou příčinou segregace přisadového prvku ve ztuhlé slitině. Mikrosegregaci rozumíme nestejnorodosti složení na malé vzdálenosti /t.j. v dendritech a zrnech slitiny/, makrosegregace je nestejnorodost mezi povrchem a středem ingotu nebo odlitku.

Mikrosegregace vzniká nedokonalou difuzí v tavenině a zejména v krystalech. Je výrazná zejména při dendritické krystalizaci, kde hlavní a vedlejší osy dendritů mají často značně odlišné složení od mezidendritických prostorů.

Následkem makrosegregace při tuhnutí ingotů mají části středové /v ose/ většinou větší obsah přísady než povrchové. Je to dáno tím, že poslední části tuhnoucí taveniny jsou nejbohatší na rozpuštěnou složku. Rozdílnému složení krystalů říkáme dendritická nestejnorodost. Lze ji z velké části odstranit homogenizačním žiháním.

2.6.2. ODMĚŠOVÁNÍ /6/

Odměšováním odlitků označujeme obohacení určitých jeho čás-

tí snadněji tavitelnou složkou slitiny. Odměšování způsobuje nestejnoměrnost slitiny, pokud jde o její fyzikální a fyzikálně-chemické vlastnosti.

Rozlišujeme tyto druhy odměšování :

- gravitační
- dendritické
- pásmové
- přímé
- opačné /obrácené/

Odměšování dendritické, interkrystalické, vzniká, je-li během tuhnutí zadržena mezi dendrity snadněji tavitelná část slitiny.

Při odměšování gravitačním rozdílem měrných hmotností stoupají snadněji tavitelné složky slitiny vzhůru a nesnadněji tavitelné klesají do spodní části ingotu.

K odměšování pásmovému dochází, má-li tavenina široké rozmezí teplot tuhnutí.

Při odměšování přímém se snadněji tavitelné složky slitiny vyskytuje uprostřed ingotu.

Odměšování opačné /obrácené/ je takové, že snadno tavitelné složky slitiny jsou při povrchu nebo na povrchu ingotu. Dochází k němu tehdy, když snadno tavitelné části slitiny nacházející se uprostřed ingotů, jsou vytlačeny na povrch mezisotva ztuhlé větve dendritů účinkem smrštění nebo hydrostatického tlaku.

Opačné odměšování se někdy projevuje výpotky a výronky na povrchu ingotu, které zhoršují jakost povrchu. Zplodiny opačné segregace mohou být též přičinou trhlin při plastické deformaci

protože jsou většinou velmi křehké.

ODMĚŠOVÁNÍ PŘI ODSTŘEDIVÉM LITÍ /4/

V rotující formě dochází současně s vypuzením plynových a struskových výměstků i k rozvrstvení samotného kovu. Vysvětlujeme si to tím, že hustota primárně vznikého krystalu se nerovná hustotě taveniny a vlivem tohoto rozdílu i působením odstředivé síly se bude krystal přemisťovat v radiálním i vertikálním směru podle vztahu :

$$F = V \cdot (\rho_k - \rho_{TAV}) \cdot r \cdot \omega^2 \quad (30)$$

kde :

r - vzdálenost středu krystalu od osy otáčení /m/

ω - úhlová rychlosť /s⁻¹/

ρ_k - hustota primárního krystalu /kgm⁻³/

ρ_{TAV} - hustota taveniny /kgm⁻³/

V - objem primárního krystalu /m³/

F_c - odstředivá síla /N/

Je-li $\rho_k > \rho_{TAV}$, pak $(\rho_k - \rho_{TAV}) > 0$, vliv odstředivé síly je kladný a primární krystal se bude pohybovat ke stěně formy. Nao-pak je-li $\rho_k < \rho_{TAV}$, pak $(\rho_k - \rho_{TAV}) < 0$, a krystal bude vlivem odstředivé síly zatlačován k ose otáčení, na vnitřní povrch odlitku. Tím nastává obrácené odměšování.

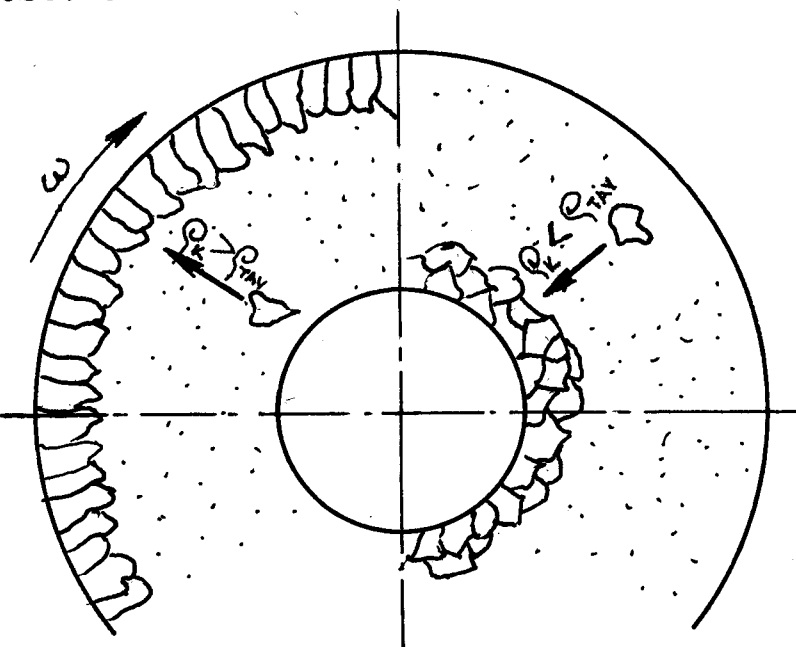
V prvním případě se bude primárními krystaly obohacovat vnější část odlitku a v druhém případě se jimi bude obohacovat jeho vnitřní část. Kromě přímého nebo obráceného odměšování se v odlitku objevují i pásmová odmíšení v podobě soustředěných pásů. Vznik těchto pásů závisí :

1. na složení slitiny

2. na rychlosti otáčení formy

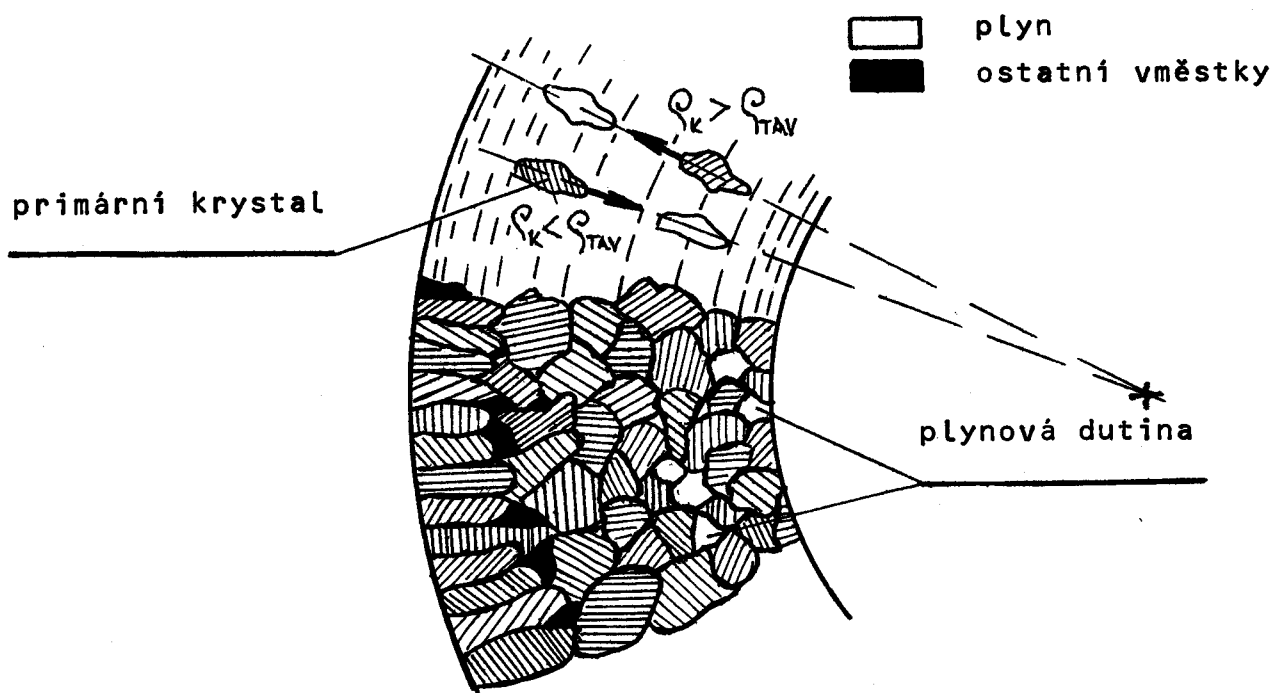
3. na rychlosti krystalizace

4. na rychlosti lití



Obr.9 Schema krystalizace odstředivého odlitku ze slitiny

tuhnoucí v intervalu teplot



Obr.10 Schema ukazující obrácené a přímé odměšování

2.7. TECHNOLOGICKÉ VLASTNOSTI HLINÍKU A JEHO SLITIN

2.7.1. SLÉVATELNOST

Slévatelnost slévárenských slitin je ovlivněna řadou dalších fyzikálních vlastností /měrné teplo, skupenské teplo tání, tepelná vodivost, roztažnost, teplota tavení, viskozita, způsob tuhnutí, povrchové napětí, lici teplota, druh a teplota formy, tepelná akumulace formy atd./.

Jak je obecně známo velmi dobrou slévatelnost vykazují slitiny blížící se svým složením eutektickému. Jsou také méně viskózní a proto vykazují i dobrou zabíhavost ve formě, kterou také dokonale vyplňují. Tato slitina tuhne při jediné teplotě a proto mají odlitky velmi malé smrštění.

To je také příčinou proč eutektické slitiny nemají sklon k praskání za tepla jak uvádí KOLEKTIV /6/. Slitiny, které mají velký interval tuhnutí, jsou náchylné na oxidaci. Vrstva oxidů tvořící se na povrchu zhoršuje slévatelnost takových slitin.

2.7.2. SKLON K TRHLINÁM A PRASKLINÁM

Pokud v intervalu tuhnutí existují dvě fáze – kapalná a tuhá, vytvářejí se v odlitku trhliny. Sklon ke vzniku trhlin je tím menší čím menší je interval tuhnutí slitiny a také čím je jemnější zrno.

Praskliny pak vznikají za teploty podstatně nižší, v důsledku vnitřního pnutí odlitku během chladnutí slitiny. Vznik prasklin je možno eliminovat zpomalením chladnutí, vhodnou konstrukcí odlitku atd.

2.8. SLÉVÁRENSKÉ VLASTNOSTI HLINÍKU A JEHO SLITIN

Schopnost kovů a jejich slitin tvořit kvalitní odlitky závisí na jejich slévárenských vlastnostech. Jsou to jedny z nejdůležitějších vlastností, které přispívají k velkému rozšíření odlitků ve strojírenství.

Slévárenské vlastnosti některých slitin hliníku jsou uvedeny v tab. 3.

2.8.1. TAVITELNOST

Tavitelnost je schopnost kovů a jejich slitin přecházet z tuhého do kapalného stavu. Nezávisí jen na hodnotě teploty tavení slitiny, ale i na celkové spotřebě tepla, potřebného k ohřání slitiny na teplotu lití. Uvažujeme-li místo slitiny čistý kov, pak pro množství jednoho kilogramu je třeba dodat teplo :

$$Q = c_s(T_{ta} - 20) + Q_t + c'_s(T_l - T_{ta}) \quad (31)$$

kde :

c_s - střední specifické teplo tuhé fáze $/J \cdot mol^{-1} \cdot K^{-1}$

c'_s - střední specifické teplo kapalné fáze $/J \cdot mol^{-1} \cdot K^{-1}$

T_{ta} - teplota tavení $/{^{\circ}}C$

T_l - teplota lití $/{^{\circ}}C$

Q_t - latentní teplo tavení $/J \cdot kg^{-1}$

S počtem komponentů pak tavící teplota klesá.

Jak již bylo řečeno, nejlépe tavitelné jsou slitiny eutektické, kdy tavení probíhá izotermicky.

Slitina Al dle ČSN	Druh slitiny	Sléva- telnost	Svaři- telnost	Obrobi- telnost	Mech. titelnost	Leš- titelnost	Možnost anodické oxidace	Korozivzdornos- t v atmosféře
424330	AlSi30	výborná	výborná	dobrá	vyhov.	neužív.	neužív.	velmi dobrá
424331	AlSi10Mg	výborná	výborná	dobrá	dobrá	neužív.	neužív.	velmi dobrá
424332	AlSi7	velmi dobrá	dobrá	velmi dobrá	velmi dobrá	nevyhov.	nevyhov.	výborná
424338	AlSi8Cu4	výborná	velmi dobrá	velmi dobrá	velmi dobrá	nevyhov.	nevyhov.	vyhovující
424381	AlSi5Cu2	velmi dobrá	velmi dobrá	velmi dobrá	velmi dobrá	vyhov.	vyhovující	vyhovující
424515	AlMg5	dobrá	dobrá	dobrá	výborná	výborná	výborná	výborná
424518	AlMg11	vyhov.	vyhov.	výborná	výborná	výborná	výborná	výborná

Tab. č.3 Přehled slévárenských slitin hliniku /6/.

2.8.2. TEKUTOST

Tekutost závisí na vzájemné pohyblivosti jednotlivých částic taveniny za dané teploty. Velká tekutost umožňuje dobré zaběhnutí taveniny do formy.

2.8.3. ZABÍHAVOST

Zabíhavost je jedna z nejtypičtějších slévárenských vlastností. Není závislá jen na vlastnostech použité slitiny, ale i na licích podmínkách, vlastnostech formy, uspořádání vtokové soustavy atd. z hlediska hliníkových slitin mají nejlepší zabíhavost slitiny se složením přibližně eutektickým tj. AlSi 12, AlSi 10 Mg, AlSi 12 CuNiMg.

Zabíhavost lze do značné míry ovlivnit licí teplotou.

Proto pro tenkostěnné odlitky volíme licí teplotu poněkud vyšší než pro dolitky silnostěnné. Na zabíhavost má také vliv předehřátí kovové formy, vhodné konstrukce vtokové soustavy, zvýšení tlaku nebo otáčky kokily.

Zabíhavost se posuzuje podle spirálové zkoušky, která pro danou slitinu a při dodržení potřebných podmínek dává výsledky s maximálnimi odchylkami $\pm 5\%$. Zabíhavost některých slitin hliníku je uvedena v tab. č.4.

Typ materiálu	Odpovídá přibližně materiálu dle ČSN	Délka spirály/%
AL 99,99		100
AlSi 13	424330	92
AlSiCu		82
AlSi 13 modif.		80
AlSiCu modif.		70
AlSi6Cu3	424381	70
AlSi5Cu1	424380	65
AlMg5	424515	60

Tab.č.4. Zabíhavost některých slitin vyjádřená v procentech délky spirály vyplněné čistým hliníkem pro licí teplotu 750°C .

2.8.4. SMRŠŤOVÁNÍ A STAHOVÁNÍ HLINÍKOVÝCH ODLITKŮ

Pod pojmem smršťování rozumíme rozměrové změny, ke kterým dochází po ztuhnutí odlitku. Některé hodnoty smrštění odlitku jednotlivých hliníkových slitin jsou uvedeny v tab. 5. Experimentálně bylo zjištěno, že při odlévání do kokil je smrštění menší než při odlévání do pískových forem.

Se smršťováním slitin při tuhnutí je spojen vznik staženin a vnitřního pnutí. U tvarových odlitků jsou nejnepříznivější staženiny rozptýlené po celém objemu odlitku.

K odstranění staženin z vlastního dolitku se používá vhodných nálitků. Hliník a jeho slitiny se proti např. šedé litině

stahuji více.

Slitiny s malým intervalém tuhnutí vykazují spíše staženiny soustředěné a slitiny s větším intervalém tuhnutí tvoří staženiny rozptýlené. Na velikost staženiny má také vliv technologie tavení a konstrukce odlitrků jak uvádí PŘIBYL /7/.

Slitina hliníku dle ČSN	Druh slitiny	Smrštění odlitrků %		
		lití do písk. forem	lití do kokil	lití pod tlakem
424330	AlSi13	1,0-1,15	0,5-0,8	0,4-0,6
424331	AlSi10Mg	1,0-1,10	0,5-0,8	0,4-0,6
424332	AlSi7	1,0-1,20	0,8-1,0	0,4-0,6
424338	AlSi8Cu4	1,0-1,20	0,8-1,0	-
424381	AlSi5Cu2	1,0-1,10	-	0,5-0,8
424515	AlMg5	1,0-1,50	0,8-1,3	0,5-0,7

Tab.č.5 Směrné hodnoty smrštění odlitrku

2.9. VADY ODLITKŮ /6/

Při výrobě odlitků se projevují vlivem nedodržení určitých technologických podmínek na finálním výrobku určité vady. Vadou odlitků se rozumí každá odchylka rozměrů, hmotnosti, vzhledu, makrostruktury nebo vlastnosti zjištěných laboratorními zkouškami od příslušných norem nebo sjednaných podmínek. V normě ČSN 421240, která je platná pro všechny slévárenské slitiny /odlévání kterýmkoliv technologickým způsobem/, se vady třídí do 7 skupin :

1. vady tvaru, rozměru a hmotnosti
2. vady povrchu
3. přerušení souvislosti
4. dutiny
5. vmeštky
6. vady struktury
7. nesprávné fyzikální vlastnosti a složení

Vady mohou být zjevné nebo skryté. Zjevná vada je zjistitelná pouhým okem na neobrobém odlitku, kdežto vadu skrytou je nutno indikovat pomocí vhodné přístrojové techniky.

U hliníku a hliníkových slitin vznikají nejčastěji vady, které jsou způsobeny :

a/ rychlým vznikem oxidických povlaků při odlehání např. zavalením. Zvláště nepříznivě ovlivňuje výskyt těchto vad přerušení lití, malá rychlosť lití nebo u odstředivých odlitků přiliš velké otáčky formy.

b/ nesprávným návrhem nebo špatnou výrobou formy.

Z těchto příčin vznikají např. zatekliny, nezaběhnutí, zálupy, bubliny, staženiny, zadrobeniny, řediny atd.

Studium slévárenských vad má velkou důležitost pro hospodárnou výrobu ve slévárně, neboť vede ke zlepšení jakosti odliteků a snížení počtu zmetků. Zvýšením produkce dobrých odliteků se zlepšuje i výroba při obrábění a při montáži strojních celků.

3.0. EXPERIMENTÁLNÍ ČÁST

Experimentální řešení této diplomové práce je zaměřeno na vývoj a zdokonalení technologie výroby rozváděcích válců pro textilní stroje. Již dříve se zabýval návrhem zařízení pro odlévání podobných válců FERČÁK /4/. Navržené zařízení vyhovovalo dané technologii, pro uplatnění výhodné slitiny hliníku z hlediska rotačního odlévání.

Textilní stroje pro které jsou válce určeny mají splňovat jak pevnostní, tak i trvanlivostní podmínky, a proto k.p. Eli-tex přistoupil na zdokonalení válců. Jeho hlavním požadavkem bylo navrhnut vchodnou slitinu hliníku, která by měla jednak dobré slévárenské vlastnosti a také se dala povrchově upravovat eloxováním, pro zvýšení životnosti a odolnosti proti otěru nití.

Odlévání válců bylo provedeno v podmírkách katedry materiálů a strojírenské metalurgie na stávajícím zařízení, které bylo k tomuto účelu již navrženo na výrobu jiného druhu rozváděcích válců.

3.1. POPIS ZAŘÍZENÍ

Hnací jednotkou je dvoupólový trojfázový asynchronní elektromotor s kotvou nakrátko o výkonu 750 W. Rozběh a otáčky tohoto elektromotoru jsou ovládány pomocí autotransformátoru. Toto řešení otáček se v praxi ukázalo jako neuspokojivé, proto se v závěru práce zabývám návrhem vhodnějšího způsobu řízení otáček.

Motor je uchycen na kostře elektromotoru čtyřmi šrouby M 10. Kostra zařízení je svařenec, který tvoří základní deska, dvě vzpěry a dvě stojny. Na základní desce jsou otvory pro

šrouby, jejichž tvary umožňují správné napnutí dvou klinových řemenů.

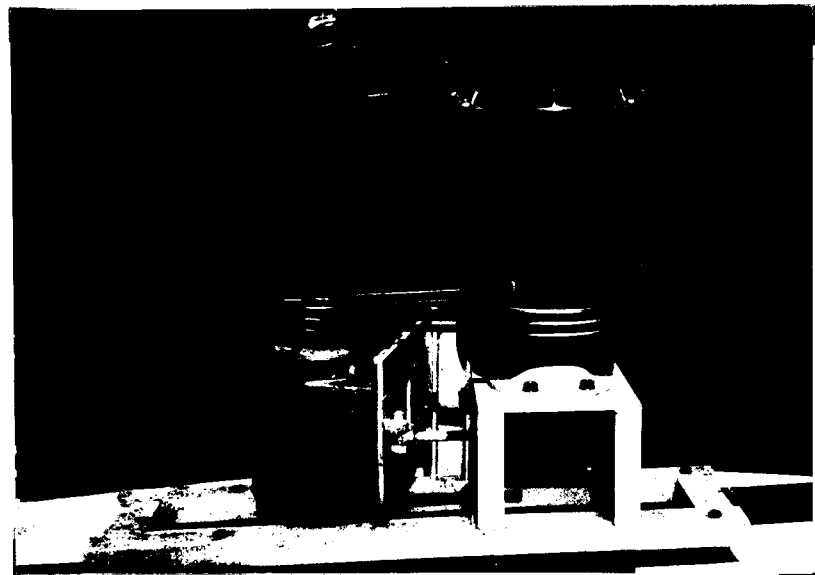
Klinové řemeny zajišťují přenos krouticího momentu z motoru na unášecí zařízení kokily.

Vlastní unášecí zařízení je uchyceno ve třech ložiskách /dvě radiální a jedno axiální/, která zachycuje vnější působící síly. Na unášecím zařízení je zhotoven kužel o úhlu zkosení 7° pro spojení se základní deskou kokily. Vlastní kokila je tedy uváděna do rotačního pohybu přes toto samosvorné spojení.

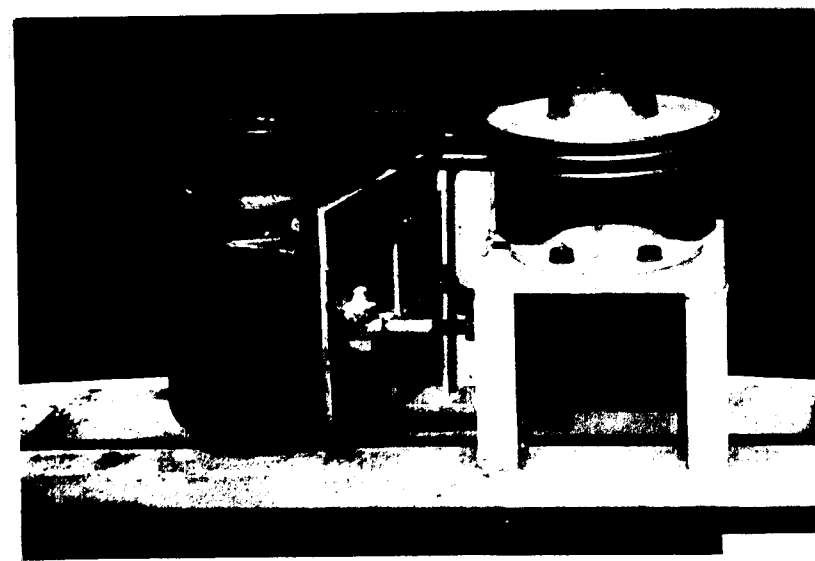
Kokila je tvořena ocelovým válcem o tloušťce stěny 12 mm s úkosem $1,5^{\circ}$, z důvodu snadného vyjmání odlitku. Dno kokily je zhotoven z ocelového plechu, na jehož spodní straně je výše uvedený kuželový unašeč. Na horní straně je drážka pro osazení pláště kokily a kuželové vybráni pro vložení jádra. Kokila je uzavřena vrchní deskou, která má rovněž drážku pro střední pláště kokily a usazení jádra. Ve střední části této desky je otvor pro vložení pomocné části formy tzv. vyhražováku.

Vyhražovák je tvořen ocelovým válcem, který se vkládá do otvoru ve vrchní desce kokily. Jeho vnitřní část je opatřena kuželovou pískovou vložkou tloušťky zhruba 10 mm, která usnadňuje odlévání a zamezuje předčasnému ztuhnutí nálitku /vtokové soustavy/. K výhodám vyhražováku patří také kromě bezpečnějšího odlévání i rychlejší plnění formy roztaženým kovem, což příznivě ovlivňuje kvalitu a tuhnutí odlitku.

Celkový pohled na zařízení je na obr. 11a, b.



a/

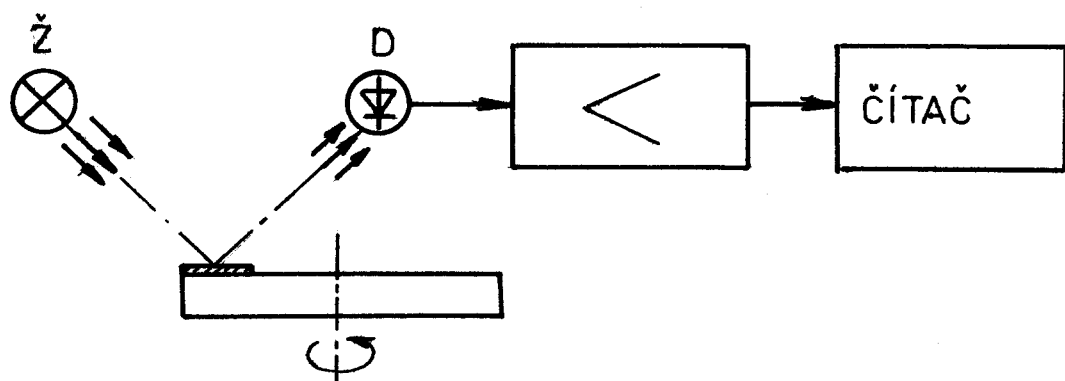


b/

Obr. 11 Celkový pohled na licí stroj
a/ s kokilou
b/ bez kokily

Při rotačním odlévání byly v průběhu odlévacího cyklu sledovány otáčky kokily. Pro tento případ jsem použil bezkontaktního měření.

Princip měření je naznačen na obr.12.



Obr.12 Blokové schema bezkontaktního měření otáček

Pomocí fotodiody D, jsou světelné impulsy odražené ze žárovičky ž, reflexní ploškou na řemenici snímány, zesílené a upravené v zesilovači a přivedeny na vstup digitálního čítače, kterým jsou zpracovány. Na displeji čítače se potom v sekundových intervalech objevují přímo měřené otáčky / $\text{ot} \cdot \text{s}^{-1}$ / . Toto měření se v praxi ukázalo jako velmi přesné, což umožnilo nastavit optimální otáčky, zvolené pro danou technologii odstředivého lití.

3.2. VÝROBA JADER

Pro výrobu jader byl použit dřevěný jaderník, sestavený pro snadnější vyjímání jádra s osmi samostatných segmentů. Jeho

funkční část je opatřena nátěrem. Pro zaformování vtokové soustavy byl použit kužel ze slitiny hliníku, jak uvádí RADĚJ /3/.

Příprava jader ze směsi Habrinol :

Jádrová směs Habrinol je patentově chráněná formovací směs, složená z křemenného písku a pryskyřičného pojiva. Tato směs byla získána ve slévárně Liaz Ostašov. K vlastní přípravě je dodávána kyselina Habrinol a pryskyřice Habrinol.

Pro zhotovení směsi platí obecný postup :

- 10 kg křemičitý písek
 - 140 g kyseliny Habrinol, míchat 1 minutu
 - 240 g pryskyřice Habrinol, míchat 2 minuty
- Směs je samovytvrditelná na vzduchu během 20 minut, tzn. že je nutno ji zpracovat do 5 minut po namichání. Při práci s Habrinolem je nutno dbát bezpečnosti práce a používat ochranných pomůcek.

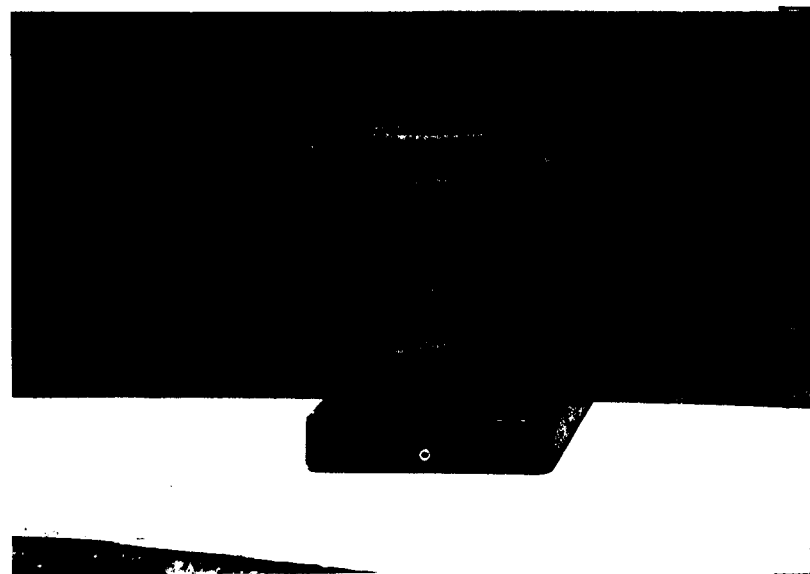
Postup výroby jádra :

1. Řádně vyčistit a složit segmenty dřevěného jaderníku.
2. Ručně vypěchovat členité tvary - žebra.
3. Založit vtokový kůl.
4. Dopěchovat.
5. Založit kroužek z hliníkové slitiny ke zlepšení usazení jádra v kokile a zarovnat čela jádra.
6. Vlastní samotuhnutí směsi.
7. Rozebrat jaderník - vyjmutí vtokového kúlu.
- rozebrání segmentů jaderníku
8. Vyřezat dva vtokové zářezy o rozměrech 30x8 mm.

9. Apretace jádra /povrchová úprava/ v místech nedopěchovaných
/řídkých/ míst a přebarvení směsi grafitu s vodou.

10. Konečné dosušování jádra z důvodu odpaření vody při teplotě
 120°C , 2 hodiny.

Jaderník a hotové jádro jsou na obr. 13a, b, c.



Obr. 13a Pohled na hotové jádro



b/



c/

Obr. 13 Pohled na jaderník
b/ rozložený
c/ sestavený

3.3. TECHNOLOGICKÝ POSTUP ODSTŘEDIVÉHO LITÍ

K vlastnímu odlévání byla jako slévárenská slitina použita slitina hliníku ČSN 424515.

Složení slitiny podle ČSN :

chemické složení : AlMg5Si1Mn

legující prvky : Mg 4,6 - 5,6 %

Si 0,6 - 1,3 %

doprovodné prvky : Cr 0,1

Cu 0,05

Fe 0,4

Ti 0,1

Zn 0,08

Pro odlití jednoho válce je potřeba zhruba pět kilogramů taveniny přehřáté na 730° C. Tavenina byla získána roztavením slévárenských housek /15 kg/ a vratného materiálu /vtoků a nálitků/ v elektrické odporové peci.

Před každým odléváním je nutno odstranit z roztaveného kovu oxidy, přidáním redukčního prášku. Pro zamezení vzniku vnitřních vad odlitku je nutno mechanicky odstranit i strusku.

Příprava formy k odlévání :

- předehřev kokily na 300° C
- založení jádra do známky ve spodní přírubě
- vyfoukání nečistot stlačeným vzduchem
- založení pláště kokily, horní desky a jejich zajištění křídlovými maticemi
- vložení vyhražováku

Vlastní odlévání :

- roztočení kokily na $200 \text{ ot} \cdot \text{min}^{-1}$ a vlastní odlití, které by nemělo přesáhnout 10 sekund
- zvýšení otáček na $400 \text{ ot} \cdot \text{min}^{-1}$ a výdrž 120 sekund
- snížení otáček a vyjmutí vyhražováku z důvodu snazšího uvolnění přetoků
- roztočení na $450-500 \text{ ot} \cdot \text{min}^{-1}$ a výdrž až do úplného ztuhnutí
- ukončení rotace po 300 sekundách a vyjmutí odlitku
- konečné chladnutí odlitku na vzduchu

3.3.1. ČIŠTĚNÍ ODLITKŮ

Čištění odlitků je dokončovací operaci při odlévání a zahrnuje :

1. Vytlučení jádra. Proběhlo bez problémů vzhledem k velmi dobré rozpadavosti jádrové směsi Habrinot.
2. Oddělení vtoků.
3. Osekání otřepů a začištění zbytků pozváděcích kanálků z vkové soustavy.
4. Ruční čištění vnitřních částí od připečenin.

3.4. VYHODNOCENÍ KVALITY VYROBENÝCH ODLITKŮ

Celkem bylo odlito 12 zkušebních válců jako ověřovací série pro potřeby k.p. Elitex. U všech válců byly postupně proměřeny vnější rozměry a získané hodnoty, které jsou uvedeny v tab. č.6 byly vyhodnoceny běžnou statistickou metodou :

$$\bar{x} = \frac{1}{n} \sum_{i=1}^n x_i \quad (32)$$

$$s = \sqrt{\frac{1}{n} \sum_{i=1}^n (\bar{x} - x_i)^2} \quad (33)$$

$$v = \frac{s}{\bar{x}} \cdot 100 \quad (34)$$

kde :

\bar{x} - střední hodnota daného rozměru /mm/

s - směrodatná odchylka /mm/

v - variační koeficient /%/

číslo měření	\varnothing větší /mm/	\varnothing menší /mm/	výška válce /mm/	
			l_1	l_2
1	170,2	165,9	180,6	180,4
2	170,0	166,4	180,5	180,4
3	170,4	166,0	180,6	180,5
4	170,1	165,1	180,4	180,4
5	170,5	166,4	180,4	180,5
6	170,2	166,2	180,4	180,4
7	170,0	166,1	180,4	180,3
8	170,2	166,2	180,2	180,5
9	170,0	166,0	180,3	180,3
10	170,3	166,3	180,3	180,5
11	170,2	166,3	180,3	180,4
\bar{x} /mm/	170,19	166,08	180,4	180,42
s /mm/	0,164	0,366	0,126	0,0751
v /%	0,096	0,22	0,069	0,042

Tab. 6 Rozměrová přesnost válců

A. Smrštivost slitiny

Dle tabelárních údajů dosahuje smrštivost slitiny hliníku ŠSN 424515 hodnoty 0,97 %. Této hodnoty bylo téměř dosaženo i v praxi. Smrštění měřené na větším průměru válce má průměrnou hodnotu 0,98 %, smrštění měřené na menším průměru válce 0,982 %, smrštění měřené na výšku válce má hodnotu 0,99 %. Odchyly od průměrné hodnoty jsou patrně způsobeny licími podmínkami, hlavňě pak teplotou předeřevu kokily, přehřátím taveniny, licí rychlostí atd.

B. Hodnocení povrchových vad a nerovností

Z celkového počtu 12 zkušebních rozváděcích válců byl pouze jeden zmetek. Vyskytly se u něj 2 slévárenské vady :

1/ **Zavaleniny** - patrně vznikly neslitím kovu předčasně ztuhlého a povrchově zoxidovaného ve formě. Zavaleniny jsou patrný na povrchu odlitku jako rýhy nebo prohlubeniny se zaočlenými kraji. Jsou způsobeny :

- přerušením lití do formy, kdy se roztavený kov ochladí a povrchově zoxiduje. Při následujícím pokračování v lití se dostane nově vlévaný kov na vrstvu dřívějšího kovu pokrytého oxidickou vrstvou a nedojde ke spojení. Rovněž malá lici rychlosť a nízká teplota kovu způsobuje zavaleniny.
- při odstředivém lití, kdy docílíme naopak velké rychlosti lití a nemáme dostatečný počet rozváděcích kanálků jako v našem případě /dva rozváděcí kanálky/. Kov z prvního kanálku "vyletí" vlivem velké odstředivé sily po stěně kokily, ztuhne a zoxiduje, tzn. že další kov od druhého vtokového kanálku se s ním již nespoji. V našem případě nastala pravděpodobně tato varianta.

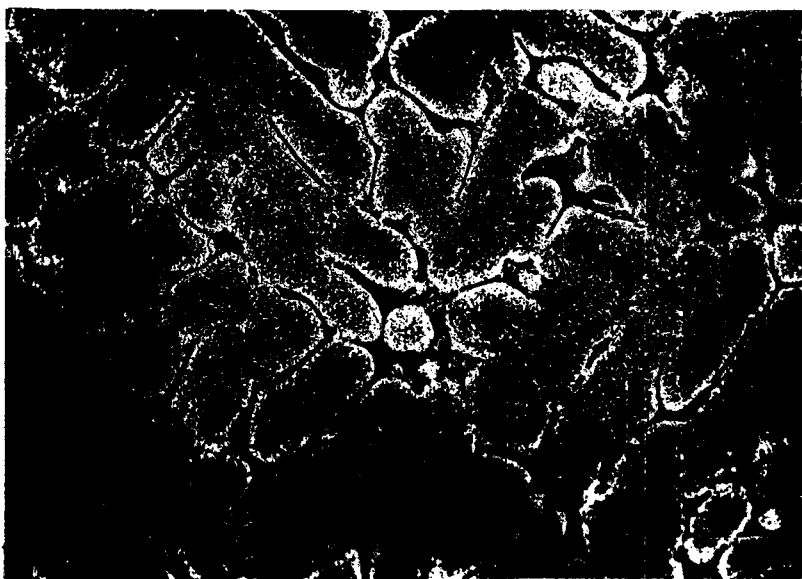
2/ **Zadrobeniny** - jsou povrchové nebo vnitřní dutiny ve stěně odlitku, vyplněné formovacím materiélem. V tomto případě byly zaviněny patrně osycháním nebo špatnou apretací jádra, popřípadě špatným vyfoukáním složené formy a poškozením jádra při jejím skládání.

Ostatní odlité válce byly prosty všech závažných slévárenských vad, kromě tenkých oxidických vrstev, které někdy vznikly na povrchu. Tyto však nejsou na závadu, protože se odstraní při konečném obrábění válců.

Pro porovnání byl odlit jeden válec gravitačním litím. U tohoto válce se projevily staženiny v tepelných uzlech /žebrech/, jak je vidět na obr. 14b v levé horní části.

3.5. STRUKTURA ODLITKŮ

U slévárenských slitin se posuzuje jejich jakost podle vzhledu lomové plochy. Proto byly namátkově vybrány z celé série válce, které byly rozříznuty v podélné ose včetně vtokového kůlu. Vzorky byly vybroušeny na metalografických brusných papírech o zrnitosti 240, 320, 400 a 600. Na nenačepané struktuře lomové plochy byla zjištována přítomnost vlastků, bublin, pórů atd a v místě rozváděcího kanálku byla sledována mikrostruktura dané slévárenské slitiny. Sledování bylo provedeno na světelném mikroskopu NEOPHOT 21 Carl Zeiss Jena při zvětšení 500 x. Mikrostruktura hliníkové slitiny je uvedena na obr. 15.



Obr. 15 Mikrostruktura Al slitiny
Leptáno : KELLER a WHILCOX

Pro vyvolání makrostruktury odlitku je třeba použít vhodného leptadla, aby byly krystaly dobře patrný po celé lomové ploše.

U zkušebních vzorků bylo použito leptadla o složení :

- destilovaná voda /H₂O/ 25 ml
- kyselina fluorovodíková /HF/ 15 ml
- kyselina dusičná /HNO₃/ 15 ml
- kyselina solná /HCL/ 45 ml

Leptadlo bylo namícháno ve výše uvedeném pořadí z hlediska bezpečnosti práce a teplota okoli byla 23° C. Leptání bylo provedeno v misce, po celé ploše současně, přičemž doba leptání byla přibližně 15 s. Poté byl vzorek opláchnut destilovanou vodou a alkoholem.

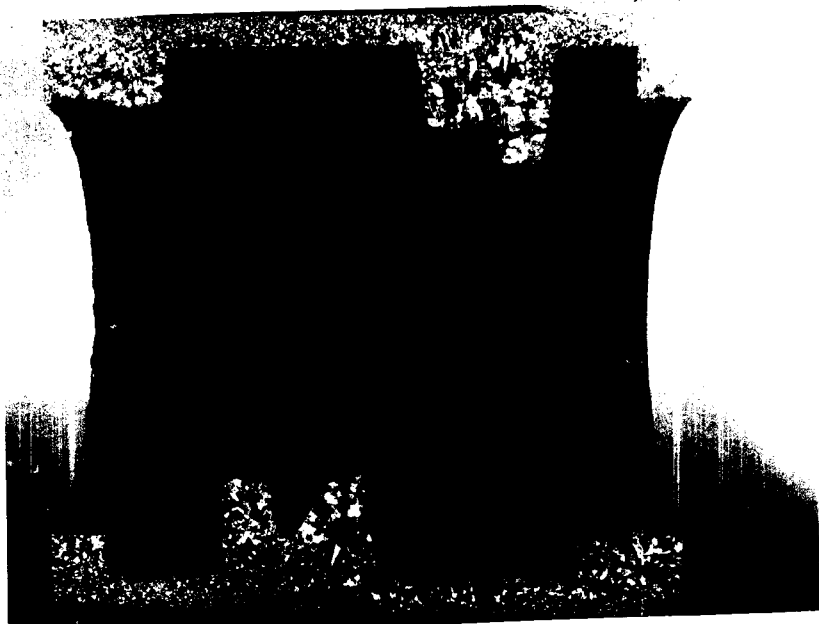
Po naleptání je struktura velmi výrazná. Působením odstředivé síly tzn. zvýšeného tlaku na roztavený kov a rychlejším odvodem tepla kokilou, je struktura v místech styku s kokilou velmi jemnozrná, bez pórů a vzduchových bublin.

V místech vtoku, vtokového kúlu a v místě žeber, kde dochází k menšímu odvodu tepla, jsou patrné větší dendrity orientované ve směru odvodu tepla. Póry, bubliny ani vmeštky nejsou na odlitku patrné.

Rozložení struktury je vidět na ob. 14a.

U porovnávacího válce litého gravitačně je naopak struktura hrubozrná - dendritická, i u stěny kokily jsou patrné dosti velké krystaly natočené ve směru gradientu odvodu tepla. U válce vyrobených touto technologií byla po obrobení dodatečně zjištěna pórovitost.

Schéma rozložení této struktury je na obr. 14b.



a/



Obr. 14 Makrostruktura lomové plochy
a/ odlito odstředivě
b/ odlito gravitačně

3.6. MĚŘENÍ TVRDOSTI

Jak je ze způsobu namáhání válců patrné je důležitá především jejich povrchová tvrdost a z toho plynoucí otěruvzdornost, nehledě na to, že povrch válců je ke zvýšení povrchové tvrdosti po obrobení určený k eloxování. Při sledování tvrdosti byla zvolena zkouška tvrdosti podle Brinella ČSN 420371. Princip této metody je vtlačování kuličky o určitém průměru, určitou silou po zvolený čas. Pro lité slitiny hliníku platí :

$$F = 10 D^2 \quad (35)$$

kde :

D - průměr kuličky /m/

F - zatěžující síla /kp/

Průměr vtisku se má pohybovat v rozmezí $d = (0,25-0,6) \cdot D$

Doba působení síly je 30 sekund.

V tomto případě byl průměr kuličky : $D = 2,5 \text{ mm}$.

Zatěžující síla byla : $F = 62,5 \text{ kp} = 615 \text{ N}$

Získané hodnoty tvrdosti byly statisticky vyhodnocené dle vzorců (32),(33),(34) a jsou uvedeny v tabulce 7.

Z tvrdosti slitiny byla orientačně vypočtena pevnost zkoušeného materiálu a tím se doplnily poznatky o uváděné slitině. Pro tento účel zjišťování pevnosti existují empirické vzorce nebo křivky, které však mají jen omezenou platnost a jsou určeny jen pro daný typ slitiny. Vztah mezi R_m a HB je přibližně :

$$R_m = (3-4) \cdot HB, \quad (36)$$

kde :

R_m - meze pevnosti v tahu /MPa/

HB - tvrdost podle Brinella /HB/

U zkoušených vzorků byla vypočtena $R_m \approx 230$ MPa

číslo měření	1	2	3	4	5	\bar{x} /HB/	s /HB/	v /%
HB rotačně	67	65	65	66	66	65,8	0,837	1,27
HB gravit.	66	65	66	65	65	65,4	0,547	0,837

Tab. č.7 Měření povrchové tvrdosti



Obr. 17 Celkový pohled na odlitek rozváděcího válce

4.0. DISKUZE VÝSLEDKŮ

Výsledky, kterých bylo v předložené práci dosaženo přinášejí do technologie výroby rozváděcích válců informace, které zvyšují kvalitu jejich výroby. Výroba slévárensky složitých rozváděcích válců ze slitiny hliníku je velmi složitá a závisí nezvolené technologii procesu odlévání. Z toho je zřejmé, že pro optimální návrh celé technologie, je důležitý výběr takového způsobu, který přispívá ke kompaktnosti a celkové kvalitě vyráběných odliteků do kombinované formy - kovová kokila a pískové jádro. S takovými úvahami byla :

- a/ zvolena pro výrobu válců technologie odstředivého lití do kombinované formy - kovová kokila a pískové jádro, což je pro hliníkové slitiny neobvyklé, přičemž navržená technologie snižuje zmetkovitost pod 10 %.
- b/ zhodnocena nově navržená technologie výroby válců. Návrh a vývoj této technologie výrazně snížil zmetkovitost a bylo dosaženo :
 - 1. jednoduchá konstrukce zařízení, které bylo vyrobeno v podmírkách katedry materiálů a strojírenské metalurgie a plně vyhovuje navržené technologii. Nedostatkem byla pouze špatná regulace otáček.
 - 2. jednoduchá kovová forma - kokila, která výrazně usnadňuje vyjmání odlitku a svou konstrukcí zvyšuje produktivitu práce.
 - 3. rychlá výroba potřebných jader ze směsi Habrinol a jejich výborné mechanické vlastnosti /pevnost/ při působení odstředivé síly a zvláště pak jejich rychlé odstranění z odlitku vlivem velice dobré rozpadovosti směsi po odli-

ti.

4. Krátký čas odlití válce, který byl 300 sekund.
5. Rychlé odstranění jádra odlitku.
6. Ovlivněná krystalizace odlitku, která vlivem rotace zamezuje vzniku povrchových a vnitřních vad odlitku zejména vznik ředin, které se nepříznivě projevují při stávající technologií gravitačního lití, snižují kvalitu a použitelnost válců.
7. Přesnost odlitku zvláště pak na funkčních plochách, která je daná použitím technologie odstředivého lití do smíšené formy.
8. Navržená technologie snižuje zmetkovitost pod 10 %, což nebylo při gravitačním lití možno dosáhnout /50% zmetkovitost/.

5.0. NÁVRH ŘÍZENÍ OTÁČEK MOTORU

V rámci řešení diplomové práce byla provedena úvaha o možnosti přesnější regulace otáček a jejich dostatečné stabilitě. Na stávajícím zařízení se současná regulace pomocí změny napětí autotransformátorem ukázala jako neuspokojivá, protože zvolené otáčky nebylo téměř možné udržet konstantní.

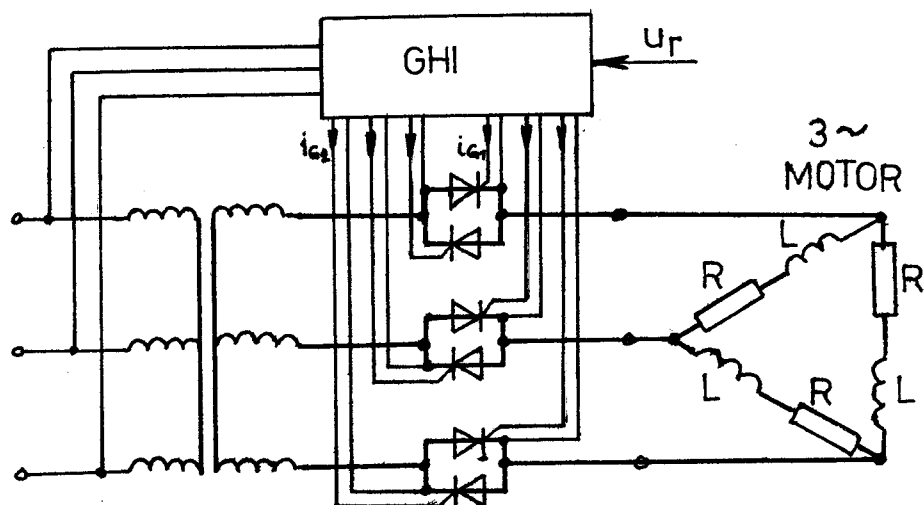
Z tohoto důvodu jsem uvažoval o použití regulace elektrotechnické - tyristorové s impulsním řízením, pomocí trojfázového střídavého měniče napětí. Tato regulace je v současné době ve střídavých elektrických pohonech používána nejčastěji, pro svou přesnost a bezztrátový provoz.

Zjednodušený popis regulace a vlastního trojfázového střídavého měniče napětí : v každé fázi asynchronního motoru jsou zapojené dva antiparalelně řazené tyristory, které představují

polovodičový spínač pro oba směry střídavého proudu. Generátor hradlových impulsů /GHI/ dodává periodicky hradlové impulsy $i_{G1} - i_{G6}$ pro každý tyristor samostatně. Fázový úhel otvíráni tyristorů a tedy i úhel řídících hradlových impulsů je dán velikostí řídícího napětí U_r . Otáčky motoru je tedy možno měnit plynule v rozmezí 0 - max. pomocí změny tohoto řídícího napětí.

Schema zapojení trojfázového střídavého měniče a regulace otáček je na obr.16.

Vlastní důkladný rozbor třífázového střídavého měniče napětí je velmi složitý a zdlouhavý a pro konkrétní motor je nutno navrhnut i konkrétní měnič, což jsem z časových důvodů nemohl provést. Pro další řešení této technologie odstředivého lítí doporučuji provést návrh a realizaci konkrétního zapojení.



Obr. 16. Schema trojfázového střídavého měniče napětí

6.0. ZÁVĚR

Předložená práce byla zpracována na téma : "Odlévání rozváděcích válců ze slitiny hliníku".

Je rozdělena na část rešeršní a část experimentální. V rešeršní části jsou popsány obecné zásady a rozbor uplatnění odlévání hliníkových slitin odstředivým způsobem jakož i slévárenské vlastnosti těchto slitin. Získané teoretické poznatky byly uplatněny v části experimentální, která je zaměřena na návrh nové technologie a vlastní výrobu rozváděcích válců. Zde byla na dříve navrženém zařízení použita a ověřena nová technologie výroby.

Úspěšným zhotovením těchto odliatků byla potvrzena i vhodnost této technologie a došlo se k těmto závěrům :

1. Navržená slitina hliníku ČSN 424515 je k této výrobě vhodná a je vhodná i pro dodatečnou povrchovou úpravu eloxováním po obrobení.
2. Kvalita vyrobených válců je velmi dobrá, odchylinky od rozměrové přesnosti jsou zanedbatelné.
3. Pro výrobu rozváděcích válců na uvedeném zařízení je nutno zachovat daný technologický postup /kap.3.3/.

Na závěr byla orientačně provedena ekonomická úvaha ceny válců vyrobených v poloprovozních podmínkách KMM - VŠST, neboť vyrobená série 82 ks je zatím jako ověřovací.

Celkové náklady : 53 857.- Kčs

Přímé mzdy : 18 889.- Kčs

Režie : 180 %

Do celkových nákladů není zahrnuta cena materiálu.

S ohledem na značnou zmetkovitost /50%/ stávající výroby rozváděcích válců přináší realizace nové technologie značné finanční úspory.

**Ekonomické zhodnocení je možno provést až vyrobené díly
novou navrhovanou technologií budou funkčně ověřeny v praxi.**

7.0. POUŽITÁ LITERATURA

- /1/ VIGNER, M.; ZELENKA, A.; KRÁL, M.: Metodika projektování výrobních procesů. Praha 1984.
- /2/ VETIŠKA, A. a kol.: Teoretické základy slévárenské technologie. Praha 1972.
- /3/ RADĚJ, J.: Odlévání rozváděcích válců ze slitiny hliníku. /Diplomová práce/. Liberec 1987 - VŠST FS.
- /4/ FERČÁK, D.: Návrh zařízení pro odlévání rozváděcích válců. /Diplomová práce/. Liberec 1985 - VŠST FS.
- /5/ PLUHAŘ, J., KORITTA, J.: Strojírenské materiály. Praha 1982.
3. nezměněné vydání.
- /6/ KOLEKTIV AUTORŮ : Příručka o hliníku. Praha 1969.
- /7/ PŘIBYL, J.: Tuhnutí a nálitkování odlitků. Praha 1954.
1. vydání.
- /8/ OETTER, J.: Výkonová elektronika pre elektrické pohony. Alfa Bratislava 1988.
- /9/ ŠIROKICH, J.: Zařízení sléváren. Praha 1968. 1. vydání.

Závěrem své diplomové práce bych rád poděkoval vedoucí diplomové práce s. Ing. Ivě Nové, CSc za odborné vedení a cenné rady.

Současně děkuji i s. Jaroslavu Vorlovi za jeho obětavou pomoc při mé praktické činnosti.

Dále děkuji všem, kteří radou či připomínkou pomohli při řešení diplomové práce.

A handwritten signature in black ink, appearing to read "Jiří Nejedlý".